

Mælingar á eðlisþyngd og poruhluta bergs

eftir

Svan Pálsson

Inngangur eftir

Guðmund Pálason og Hauk Tómasson

Maí 1972

Mælingar á eðlisþyngd og poruhluta bergs

eftir

Svan Pálsson

Inngangur eftir

Guðmund Pálmason og Hauk Tómasson

Maí 1972

Efnisyfirlit.

1. Inngangur. (G.P. og H.T.),	bls.	1
2.1 Skilgreiningar nokkurra hugtaka.	-	3
2.2 Umreikningur á formúlu.	-	4
2.3 Rannsóknaraðferð.	-	5
2.4 Skekkjuvaldar.	-	7
2.5 Niðurstöður mælinga.	-	9
3. Lokaorð.	-	14

Töflur:

1. Eðlisþyngd og poruhluti borkjarna frá Tungnaárvæði.
2. Eðlisþyngd og poruhluti borkjarna frá Tungnaárvæði, meðaltöl, lægstu og hæstu gildi hvers bergfloks.
3. Eðlisþyngd og poruhluti sýnishorna frá öðrum stöðum en Tungnaárvæði.

Myndir:

- 2.01 Hlutfallsleg dreifing rúmþyngdar þurra sýna frá Tungnaárvæði.
- 2.02 Hlutfallsleg dreifing bergeðlisþyngdar sýna frá Tungnaárvæði.
- 2.03 Hlutfallsleg dreifing poruhluta sýna frá Tungnaárvæði.
- 2.04 Bergeðlisþyngd og rúmþyngd þurra sýna frá Tungnaárvæði.
- 2.05 Samband poruhluta og rúmþyngdar þurra sýna frá Tungnaárvæði.
- 2.06 Samband poruhluta og rúmþyngdar þurra sýna frá Hawaii-eyjum.
- 2.07 Poruhluti bergs á Tungnaárvæði eftir dýpi.
- 2.08 Poruhluti bergs eftir dýpi.
- 2.09 Tökustaðir sýnishorna.
- 2.10 Tökustaðir sýnishorna, sem tekin voru á yfirborði jarðhita-svæða.

Inngangur.

Allt fram á síðustu ár hefur frekar lítið verið vitað um ýmsa eðliseiginleika þess bergs, sem byggir upp grunn landsins. Til þessa liggja margar ástæður. Aðstaða hefur ekki verið fyrir hendi hér á landi til nægilega umfangsmikilla mælinga. Erlendis hefur áhugi á eðlis-eiginleikum basalts lengi verið af skornum skamti. Þetta er nú að breytast, eftir að menn gerðu sér ljóst, að mest-allur botn úthafanna er úr slíku bergi og viða er því nú verið að vinna að rannsóknum á eðliseiginleikum basalts.

Þessi skýrsla fjallar um mælingar á poruhluta og eðlisþyngd íslenzks bergs. Eru þær hinar ítarlegustu, sem gerðar hafa verið fram að þessu, og niðurstöðurnar um margt athyglisverðar. Poruhluti og þar með vatnsinnihald bergs er talsvert meira en áður hefur verið álitið. Hefur þessi vitneskja talsverða þýðingu, m.a. fyrir jarðhitarannsóknir. Hlutfallið vatn : berg gefur til kynna heildarvatnsmagnið í bergen, og hefur einnig áhrif á efnaskipti milli vatnsins og bergsins og þar með á efna-samsetningu heita vatnsins. Þetta hlutfall hefur einnig áhrif á ýmsa aðra eiginleika bergsins, t.d. eðlisþyngd, rafleiðni, hraða jarðskjálftabylgja og elastiska stuðla. Þær niðurstöður, sem hér er skýrt frá, eru því þýðingarmikið framlag til þekkingarinnar á berggrunni landsins. Með samanburði við hliðstæðar mælingar í öðrum löndum á eiginleikum basalts má ef til vill draga viðtækari ályktaðir af niðurstöðunum en enn hefur verið gert.

G.P.

Eins og tekið er fram í inngangi Guðmundar Pálmasonar gefa þessar poruhlutamælingar vísbendingu um ýmsa eðlis-eiginleika bergs. Verulegur hluti þessara mælinga er gerður á bergi frá virkjunarsvæðunum við Tungná og í jarðtæknilegum tilgangi. Bergið á þessum stöðum er mjög ungt og veikt. Við virkjanir verður veruleg breyting á jarðvatnshæð. Það sem er verið að sækjast eftir vitneskju um er vatnsmagnið sem fer í að fylla bergið við ákveðna hækjun á jarðvatnshæð og þar af leiðandi þrýstings og spennubreytingar í berginu. Þessir kraftar eru ekki stórir en geta þó verið vanda-mál við mannvirkjagerð í lélegu bergi eins og við Tungná.

H.T.

2.1 Skilgreiningar nokkurra hugtaka.

Orðið porur er hér notað um allar holur eða holrými í bergi. Rétt þótti að nota í þessari sérhæfðu merkingu fremur orðir "porur" en orðið "holur", þar sem verulegur hluti af þessum "porum" ("holum") eru svo smáar, að þær eru ósýnilegar með berum augum eða jafnvel í smásjá. Berg getur verið með tölverðum "poruhluta", t.d. 0,20, þó að engum dytta í hug að kalla það "holótt". Hins vegar getum við notað lýsingarorðið poróttur og sagt, að berg sé mikið eða lítið porótt.

Orðið "poróttur" er notað um vikur í samtíma lýsingu á Öræfajökulsgosinu 1727, sjá Sigurður Þórarinsson: The Öræfajökull Eruption of 1362. Acta naturalia islandica Vol. II. - No. 2 bls. 37.

Porurúmmál er skilgreint sem rúmmál alls holrýmis í bergsýnishorni.

Poruhluti (porosity), P, er skilgreindur sem hlutfallið milli porurúmmáls og heildarrúmmáls bergsýnishorns

$$P = \frac{V_1 - V_2}{V_1}$$

þar sem $P =$ poruhluti, $V_1 =$ heildarrúmmál (bergrúmmál + porurúmmál) og $V_2 =$ bergrúmmál.

Poruhlutfall (void ratio), e, er skilgreint sem hlutfallið milli porurúmmáls og bergrúmmáls sýnishorns

$$e = \frac{V_1 - V_2}{V_2}$$

Porutala er skilgreind sem fjöldi pora (af tiltekinni stærð) í rúmmáls- eða flatareiningu bergs.

2.2 Umreikningur á formúlu.

M_v = massi sýnis á kafi í vatni - uppdrif

M_b = massi blauts sýnis

M_p = massi þurrs sýnis

$$V_1 = \frac{M_b - M_v}{\gamma_v} = \text{heildarrúmmál (bergrúmmál+porurúmmál) sýnis}$$

$$V_2 = \frac{M_p - M_v}{\gamma_v} = \text{bergrúmmál sýnis}$$

γ_v = eðlisþyngd vatns við það hitastig, sem mæling er gerð

$$\gamma_p = \frac{M_p}{V_1} = \text{rúmþyngd þurrs sýnis}$$

$$\gamma_b = \frac{M_b}{V_1} = \text{rúmþyngd blauts sýnis}$$

$$\gamma_{k_1} = \frac{M_p}{V_2} = \text{bergeðlisþyngd sýnis}$$

γ_{k_2} = bergeðlisþyngd mulins sýnis mæld í pyknometer

$$P = \frac{V_1 - V_2}{V_1} = 1 - \frac{V_2}{V_1} = 1 - \frac{M_p - M_v}{M_b - M_v} = \frac{M_b - M_p}{M_b - M_v} \quad P = \frac{M_b - M_p}{M_b - M_v}$$

M_b , M_p og M_v eru allt mældar stærðir.

$$M_p = \gamma_p \cdot V_1 - \gamma_k \cdot (1 - p) \cdot V_1 \quad 1 - p = \frac{M_p}{\gamma_k \cdot V_1}$$

$$P = 1 - \frac{M_p}{\gamma_k \cdot V_1} = 1 - \frac{\gamma_p}{\gamma_k}$$

$$P = 1 - \frac{\gamma_p}{\gamma_k}$$

2.3 Rannsóknaraðferð.

Sýnishornin, sem tekin hafa verið til poruhluta-mælinga, eru aðallega tvenns konar. Annars végir tiltölu-lega sléttir bútar af borkjörnum og hins végir óreglulega lagaðir steinar.

Úr borkjörnum, sem venjulega eru um 6 cm í þvermál, eru sagaðir um 10 cm langir bútar, sem eru venjulega 500-800 g. Úr óreglulega löguðu steinum eru sagaðir 2-4 molar úr hverjum steini (sýnishorni) og eru molarnir venjulega 50-90 g hver.

Molarnir eru látnir í kaf í vatn í bikarglassi eða potti og vatnið látið sjóða í 1-2 klst. Notað er krana-vatn. Eftir að molarnir og vatnið hafa kólnað niður undir stofuhita, eru molarnir látnir vera á kafi í vatni í purrkkeri (desiccator) og þurrkkerið lofttæmt með vatnsgeisladælu, þar til loftbólur eru hættar eða því sem næst hættar að koma út úr molunum.

Að lofttæmingu lokinni er molinn veginn á kafi í vatni (eimuðu vatni). Þá fæst stærð M_v . Síðan er hitastig vatnins mælt, molinn tekinn upp úr vatninu, vatns-dropar þurrkaðir utan af honum og hann veginn blautur. Þá fæst stærð M_b .

Síðan er molinn þurrkaður við u.p.b. 110°C í ofni yfir nótt. Morguninn eftir er molinn fluttur heitur í purrkker, það lofttæmt í um 5 mínútur með vatnsgeisla-dælu og eftir a.m.k. 3 klst. er molinn veginn. Þá fæst stærð M_p .

Út frá þessum 3 stærðum, sem nú eru fengnar, er poruhlutinn reiknaður eftir formúlu

$$P = \frac{M_b - M_p}{M_b - M_v}$$

Sú niðurstaða á poruhluta, sem kemur út úr þessari formúlu, er kölluð P_1 . Þessi poruhlutamæling nær ekki til lokaðra pora, sem vatn getur ekki komist inn í við þá meðferð, sem lýst er hér að framan.

Til þess að fá lokuðu porurnar með í poruhlutamælingunni er molinn malaður, þegar mælingarnar, sem lýst er hér að framan, hafa verið gerðar á hoñum. Yfirleitt er malað niður í kornastærð <1mm. Molinn er malaður allur, ef hann er samsettur úr fleiri en einni berggerð, t.d. pursabergi eða jökulbergi, en aðeins hluti hans er malaður, ef hann er úr einni berggerð, t.d. basalti. Mjölið úr molanum er nú þurrkað í ofni við 110°C , látið kólna í þurrkjeri og bergeðlisþyngd þess, γ_{k_2} , mæld í eðlisþyngdarmæliflösku (pyknometer).

Eðlisþyngdarmælingarnar eru yfirleitt gerðar í 25 eða 50 ml eðlisþyngdarmæliflöskum og notað eimað vatn. Eftirfarandi formúla er notuð til að reikna út eðlisþyngdina:

$$\frac{\text{Eðlisþyngd}}{\text{þyngd tómrar mæliflösku}} = \frac{\text{þyngd sýnishorns}}{\text{þyngd sama rúmmáls af vatni}} = \frac{c-a}{(b-a) - (d-c)}$$

þyngd mæliflösku fullrar af vatni	b
þyngd mæliflösku og sýnishorns	c
þyngd mæliflösku, sýnishorns og vatns	d
þyngd sýnishorns	c-a
þyngd vatns í mæliflösku með sýnishorni og vatni	d-c
þyngd vatns í mæliflösku fullri af vatni	b-a
þyngd vatns með sama rúmmáli og sýnishorn	(b-a)-(d-c)

Þegar eðlisþyngd mjölsins, γ_{k_2} , hefur verið mæld, er γ_{k_2} sett sem γ_k inn í formúluna

$$P = 1 - \frac{\gamma_p}{\gamma_k}$$

Sú niðurstaða á poruhluta, sem fæst með því að reikna með bergeðlisþyngd mulins sýnis, γ_{k_2} , er kölluð P_2 .

2.4 Skekkjuvaldar.

Þessar poruhlutamælingar eru gerðar á smáum og tiltölu-
lega heillegum molum. Mælingarnar ná þar af leiðandi ekki
til rúmmáls sprungna eða til holrýmis í sundurlausum jarð-
lögum.

Blöðrur, sem lenda í yfirborði mola, eru yfirleitt ekki
vatnsfylltar, þegar molinn er veginn blautur, svo að poru-
hlutinn mælist lægri en hann er í raun og veru. Þessi skekkju-
valdur er helzt í sýnishornum af hraungrýti, en við mælingar
á poruhluta í því hafa sýnishornin venjulega verið höfð í
stærra lagi, 500-800 g kjarnabútar, svo að skekkjan er ekki
veruleg, nema sýnishornin séu stórbloðrótt.

Þennan skekkjuvald af völdum blaðra í yfirborði sýnis-
horna er unnt að losna við, ef sýnishornin eru reglulega
löguð, með því að mæla þau með rennimáli og reikna rúmmálið,
 V_1 , eftir þeim mælingum. V_1 , fundið á þennan hátt, er notað
til að reikna rúmþyngd þurrs sýnis, γ_p , en sú rúmþyngd ásamt
bergeðlisþyngdinni, γ_{k_2} , er notuð til að reikna út poru-
hlutann. Þetta hefur verið gert við nokkra reglulega lagaða
kjarnabúta. Poruhluti ákvarðaður með þessari aðferð, sem
hér er kallaður P_3 , hefur yfirleitt ekki mælt verulega hærri
en poruhluti mældur með hinni aðferðinni, nema bergið sé
stórbloðrótt, blöðrur 5 mm eða meira í þvermál.

Raki, sem loðir utan á mola, þegar hann er veginn
blautur, veldur því, að rúmþyngd blauts sýnis, M_b , mælist
of há. Þessi skekkjuvaldur er örugglega mjög óverulegur,
því að minnsti poruhluti, sem mælt hefur í þessum sýnis-
hornum, er rúmlega 0.01. Það er P_1 í basalti úr holu 7 á
Krísuvíkursvæði. Hámark þessarar skekkju væri rúmlega 0.01,
ef gert væri ráð fyrir, að í basaltinu væru engar opnar porur.
Þar sem $P_2 - P_1$ í þessum basaltmola er 0.01, en það þýðir, að

lokaðar porur hafa verið 1% af heildarrúmmáli molans, er greinilegt, að molinn er ekki með öllu porulaus. Af þessu virðist mega draga þá ályktun, að $P_1 = 0.01$ sé, að minnsta kosti að verulegu leyti, fremur raunverulegur poruhluti (opnar porur) en raki, sem loðað hefur utan á molanum, því að ótrúlegt er, að moli, sem sannanlega er með lokuðum porum, sé ekki einnig með eitthvað af opnum porum.

Bergeðlisþyngd mulinna sýnishorna, γ_{k_2} , er alltaf meðaltal a.m.k. 2 mælinga á hverju sýnishorni sem ekki er meiri munur á en 0.03, þ.e.a.s. óákveðni í meðaltali γ_{k_2} er ± 0.01 .

Í sambandi við mælingar á γ_{k_2} má nefna 2 skekkjuvalda, sem báðir eru óverulegir og ganga hvor á móti öðrum.

Hugsanlegt er, að lofttæming sýnishornanna í eðlisþyngdarmæliflöskunum sé ekki alger. Lofttæmingin fer þannig fram, að eðlisþyngdarmæliflöskurnar með sýnishorni og vatni, sem er það mikið, að sýnishornið er á kafi í vatni í flöskunum, eru látnar í þurrker (desiccator) og þurrkkerið lofttæmt með vatnsgeisladælu, þar til loftbólur eru hættar eða því sem næst hættar að koma úr sýnishornunum. Skekkjan liggr þá í því, að eitthvað af lofti verði eftir á milli kornanna eða inni í kornunum. Skekkjan er sennilega mjög lítil, en hún hefur tilhneigingu til að lækka niðurstöður bergeðlisþyngdarmælinganna.

Hinn skekkjuvaldurinn í bergeðlisþyngdarmælingunum er sá, að eðlisþyngd vatnsins í eðlisþyngdarmæliflöskunum er ekki tekin með í útreikning úr mælingunum. Í formulunni

$$\gamma_k = \frac{c - a}{(b-a)-(d-c)} \quad \text{er} \quad (b-a)-(d-c) = \text{þyngd vatns, sem hefur}$$

sama rúmmál og sýnishornið. Við stofuhita er þyngd vatnsins í g örlitlu lægri tala en rúmmál þess í cm^3 , svo að þessi skekkjuvaldur, sem er tæplega 0.2%, leitast við að hækka niðurstöður eðlisþyngdarmælinganna. Þessi skekkjuvaldur gengur þannig á móti hinum skekkjuvaldinum, sem fyrr var talinn.

2.5 Niðurstöður mælinga.

Þeim sýnishornum, sem poruhluti hefur verið mældur í, má skipta í 3 aðalflokka:

1. Sýnishorn af borkjörnum frá Tungnaárvæði.
2. Sýnishorn af borkjörnum úr ýmsum borholum víðsvegar á landinu. Það eru næstum eingöngu holur, sem boraðar hafa verið vegna jarðhitarannsókna.
3. Bergsýnishorn tekin á yfirborði jarðhitasvæða.
Þessi sýnishorn voru tekin nærri Reykjakoti og Gufudal í Ölfusi og í Sogum á Reykjanesskaga.

Sýnishornin frá Tungnaárvæði voru um 100 borkjarnabútar úr holum, sem boraðar hafa verið vegna virkjana-rannsókna við Hrauneyjar og Sigöldu. Til fræðslu um jarðfræði þessa svæðis má vísa á "Hrauneyjafoss Geological Report" eftir Hauk Tómasson, sem Orkustofnun gaf út í marz 1971. Mælingar voru yfirleitt gerðar á um 10 cm löngum kjarnabútum og var hvert sýnishorn venjulega aðeins 1 moli, en stundum voru kjarnabútnir, sem komu til mælinga nægilega langir til að fá úr þeim 2 búta til að mæla, og eru báðir bútnir taldir 1 sýnishorn. Mælingar á γ_{K_2} voru ekki gerðar á öllum basaltmolunum, heldur voru stundum notuð meðaltöl mælinga á öðrum sýnum úr sama hraunlagi.

Niðurstöður mælinga á hverjum mola um sig eru birtar í töflu 1. Í töflunni eru niðurstöðurnar flokkaðar eftir bergtegundum og nútíma hraunlöögum og meðaltöl reiknuð fyrir hvern flokk.

Meðaltöl hvers bergflokks (bergtegundar og hraunlags) í töflu 1 eru birt í töflu 2 ásamt lægstu og hæstu gildum, sem mældust í hverjum þessara flokka. Einnig er í þessari töflu dálkur, sem sýnir fjölda þeirra sýnishorna, sem mæld voru í hverjum flokki um sig. Vegna þess, hve fá

sýnishorn voru mæld í sumum af þessum flokkum, verður að taka þessum meðaltölum með varúð.

Niðurstöður mælinga á sýnishornum frá öðrum stöðum en Tungnaárvæðinu, bæði í borkjörnum og sýnishornum teknum á yfirborði, eru birtar í töflu 3. Hér voru mælingarnar yfirleitt gerðar á 2-4 litlum (50-90 g) molum úr hverju sýnishorni, og eru niðurstöður mælinga á hverjum mola um sig birtar í töflunni. Mælingar á γ_{k_1} voru oft ekki gerðar á öllum molum sama sýnishorns, heldur látið nægja að mala 1-2 mola úr hverju sýnishorni, ef sýnishornið var úr einni berggerð.

Táknin yfir dálkum í töflunum eru öll útskýrð í kafla 2.2, nema P_1 P_2 og P_3 .

P_1 er poruhluti opinna pora, þ.e.a.s. þeirra pora, sem tekst að fylla af vatni með suðu og lofttæmingu á molanum heilum, sjá þó kafla 2.3. P_1 samsvarar bergeðlisþyngd γ_{k_1} .

P_2 er poruhlutinn P_1 að viðbættum poruhluta þeirra pora, sem ekki tekst að vatnsfylla, nema með því að mala molann. P_2 samsvarar bergeðlisþyngd γ_{k_2} .

P_3 fæst með því að mala molann með rennimáli og reikna heildarrúmmálið, V_1 , eftir þeim mælingum. V_1 fundið á þennan hátt er notað til að reikna rúmpyngd þurrs sýnis, γ_p , en sú rúmpyngd ásamt bergeðlisþyngdinni, γ_{k_2} , er notuð til að reikna út poruhlutann, P_3 .

Við athugun á niðurstöðum í töflum 1 og 2 vekja nokkur atriði eftirtekt.

Rúmpyngd þurra sýna, γ_{p_2} , er töluvert breytileg frá einu sýnishorni til annars jafnvel innan sömu bergtegundar. Á mynd 2.01 er sýnd hlutfallsleg dreifing rúmpyngdar þurra sýna af basalti TH (TH=Tungnaárhraun), jökulbergi og bólstrabergi Hr_1 ($Hr=Hrauneyjar$). Með bólstraberginu er sýnd sem viðbót í sömu hlutföllum dreifing kubbabergs.

Dreifing rúmpyngdar blautra sýna, γ_b , er nokkru minni en dreifing rúmpyngdar þurra sýna.

Þegar litið er á dálkana með niðurstöðum mælinga á bergeðlisþyngd, γ_{k_1} , og γ_{k_2} , sést strax, að γ_{k_2} er alltaf hærri en γ_{k_1} , og að þessi munur er langmestur í bólstrabergi og kubbabergi. Þetta sýnir, að í öllu þessu bergi er eitthvað af porum, sem ekki er unnt að fylla af vatni, meðan molarnir eru heilir, og miklu meira er af þessum lokuðu porum í bólstrabergi og kubbabergi en í öðru bergi á þessum slóðum, sem mælt hefur verið. Greinilegur munur er á bergeðlisþyngd, γ_{k_2} , eftir bergtegundum og hraunlögum. Kubbaberg og bólstraberg hafa mesta bergeðlisþyngd, en þursaberg, jökulberg og yngsta Tungnaárhraunið minnsta. Bólstrabergsýnishornin, sem höfðu minnsta bergeðlisþyngd, voru með leirfyllingum. Á mynd 2.02 er sýnd hlutfallsleg dreifing bergeðlisþyngdar, γ_{k_2} , basalts (THi og THj), jökulbergs og bólstrabergs. Með bólstraberginu er sýnd sem viðbót í sömu hlutföllum dreifing bergeðlisþyngdar kubbabergs.

Á poruhlutadálkunum kemur af eðlilegum ástæðum fram svipaður munur og á bergeðlisþyngdardálkunum, því að P_1 svarar til γ_{k_1} og P_2 svarar til γ_{k_2} . Þar sem poruhluti P_3 hefur verið ákvarðaður, er hann álíka mikill eða heldur meiri en P_2 . Á mynd 2.03 er sýnd hlutfallsleg dreifing poruhluta, bæði P_1 og P_2 , basalts TH, jökulbergs og bólstrabergs. Með bólstraberginu er sýnd sem viðbót í sömu hlutföllum dreifing poruhluta kubbabergs. Á þessari mynd sést vel, hve munurinn á P_1 og P_2 í bólstrabergi og kubbabergi er mikill.

Á mynd 2.04 er reynt að sjá samband milli bergeðlisþyngdar, γ_{k_2} , og rúmpyngdar þurra sýna. Dreifing punktanna er mjög mikil, en einstakar bergtegundir og jafnvel 1 einstakt hraunlag (THj) hafa tilhneigingu til að safnast í afmarkaða hópa.

Á mynd 2.05 er sýnt sambandið milli poruhluta, P_2 , og rúmþyngdar þurra sýna. Sambandið milli þessara eiginleika er $P = 1 - \frac{\gamma_p}{\gamma_{k_2}}$, sem við umreikning verður $\gamma_p = \gamma_{k_2} - \gamma_{k_2} \cdot P$.

Þetta er jafna beinnar línu, þar sem γ_p er ordinat, γ_{k_2} er þæði hallatala og skurðpunktur línumnar við y-ásinn og P er absissa. Á myndinni virðast punktarnir raða sér nokkurn veginn í beina línu með tiltölulega lítilli dreifingu, af því að bergeðlisþyngdin er tiltölulega jöfn.

Ef ákvarða ætti poruhluta berglags, sem væri allt bergræðilega eins, en misjafnlega porótt, væri nægilegt að ákvarða bergeðlisþyngdina γ_{k_2} nákvæmlega með fáum mælingum og finna rúmþyngd margra reglulega lagaðra þurra bergsýnhorna með vigtun og mælingum með rennimáli.

Á mynd 2.06 er sýnt til samanburðar sambandið milli poruhluta og rúmþyngdar þurra sýna af basalti og andesíti frá Hawaii-eyjum. Þessar niðurstöður eru teknar úr grein, sem ber yfirkriftina Elastic Wave Velocities in Hawaiian Rocks at Pressures to Ten Kilobars eftir Murli H. Manghnani og George P. Woollard, sem birtist í The Crust and Upper Mantle of the Pacific Area Geophysical Monograph 12.

Ekki kemur fram í greininni, hvort rúmmál sýnhornanna, sem voru litlir kjarnabútar, hefur verið ákvarðað með mælingum með rennimáli eða með því að vega sýnishornin blaut þæði í lofti og á kafi í vatni. Af þessari ástæðu er ekki ljóst, hvort poruhlutinn samsvarar heldur því, sem hér er kallað P_2 eða P_3 . Þó er líklegra, að hann samsvari P_3 .

Á mynd 2.06 er dreifing punktanna miklu meiri en í sýnhornunum frá Tungnaárvæði. Einnig hefur mælt bæði miklu hærri og lægri poruhluti í sýnishornunum frá Hawaiieyjum en í sýnishornunum frá Tungnaárvæði.

Á mynd 2.07 er reynt að sjá samband milli poruhluta og dýpis. Ekki verður séð, að neitt samband sé þar á milli, enda varla við því að búast, því að dýptarmunur er lítill og jarðmyndanir allar ungar, frá nútíma og síðasta hluta jökultíma.

Á mynd 2.08 er aftur reynt að sjá samband milli poruhluta og dýpis. Hér er dýptarskalinn hafður miklu minni en á mynd 2.07 til að geta notað niðurstöður mælinga á sýnishornum úr miklu dýpri borholum, sem birtar eru í töflu 3. Punktarnir, sem teknir eru úr töflu 3, eru meðaltöl mælinga á einstökum mólum hvers sýnishorns. Auk þess eru tekin meðaltöl hvers bergflokks um sig frá Tungnaárvæði úr töflu 2, og eru þeir punktar auðkenndir sérstaklega. Ekki verður séð með vissu, að samband sé milli poruhluta og dýpis, enda eru punktarnir bæði fáir og ósamstæðir, en ef eitthvað er, þá virðist mynd 2.08 þó fremur gefa til kynna, að poruhluti fari minnkandi með vaxandi dýpi, en við því mætti búast bæði vegna samþjöppunar af völdum jarðlagafargs og holufyllinga vegna ummyndunar.

Á mynd 2.09 eru tökustaðir sýnishorna merktir inn á Íslandskort, og á mynd 2.10 eru 2 uppdrættir, sem sýna tökustaði sýnishorna, sem tekin voru á yfirborði jarðhitasvæða, en niðurstöður mælinga á þeim eru birtar í töflu 3.

Niðurstöðurnar, sem sýndar eru á mynd 2.08, eru einn niðurstöðurnar úr töflu 3, sem sýndar eru myndrænt. Ekki þótti tiltækilegt að sýna fleiri niðurstöður úr þeirri töflu myndrænt vegna þess, hve sýnishornin voru ólík að gerð og frá mörgum stöðum.

3. Lokaorð.

Niðurstöður poruhlutamælinganna eru svipaðar eða lægri en raunverulegur poruhluti berglaganna, sem sýnishornin hafa verið tekin úr.

Sennilega eru niðurstöðurnar nærrí raunverulegum poruhluta berglaga, þegar um er að ræða setlög, sem hafa náð að harðna í sæmilega hart setberg, t.d. jökulberg og móberg. Svipuðu máli gegnir um ummyndað berg úr borholum á jarðhitasvæðum, nema mælingar ná ekki til rúmmáls sprungna, sem kunna að vera í jarðlögunum.

Niðurstöðurnar eru örugglega allt of lágar fyrir hraunlög og bólstraberg, þar sem mælingar ná aðeins til heillegustu hluta þessara jarðmyndana. Poruhluta lausra jarðlaga er ekki unnt að mæla með þeim aðferðum, sem hér hafa verið notaðar, en vitað er, að poruhluti lausra jarðlaga er, töluvert hærri en poruhluti samsvarandi jarðlaga, sem hafa náð að harðna og mynda föst berglög.

Eðlisþyngd og poruhluti borkjarna frá Tungnaárvæði.

Density and porosity of drill-cores from Tungnaá area.

+ táknað, að næstu lagamót séu fyrir neðan, en ÷ að þau séu fyrir ofan sýnishornið.

+ says, that the next contact is below, but ÷ that the next contact is above the sample.

Bergtegund Rock type	Staður, dýpi og fjarlægð frá næstu lagamótum. Location, depth and distance from the next contact.	Rúmp, þurrs sýnis γ_b Dry density	Rúmp, blauts sýnis γ_b Saturation density	Bergeðlisþyngd Grain density		Poruhluti Porosity		
				γ_{k_1}	γ_{k_2}	P_i	P_2	P_3
1	2	3	4	5	6	7	8	9
Uflalaust bólstraberg Hr ₁	Hrauneyjar HP-3 29,5 m ÷ 10,5 "	2,32	2,47	2,73	3,07	0,15	0,24	
	30,9 " ÷ 11,9 "	2,40	2,47	2,58	3,08	0,07	0,22	
	31,5 " ÷ 12,5 "	2,09	2,30	2,64	3,09	0,21	0,32	
	43,5 " ÷ 24,5 "	2,04	2,30	2,75	3,08	0,26	0,34	
	HP-10 6,3 " ÷ 5,1 "	2,12	2,24	2,41	3,08	0,12	0,31	
	10,0 " ÷ 8,8 "	2,30	2,42	2,71	3,08	0,12	0,25	
	10,5 " ÷ 9,3 "	2,36	2,45	2,60	3,08	0,09	0,23	
	19,0 " ÷ 17,8 "	2,19	2,39	2,74	3,10	0,20	0,29	
	23,0 " ÷ 21,8 "	2,16	2,28	2,47	3,09	0,13	0,30	
	HP-20 13,6 " ÷ 9,6 "	2,45	2,51	2,62	3,10	0,07	0,21	
	15,0 " ÷ 11,0 "	2,33	2,45	2,63	3,08	0,12	0,24	0,24
með leirfyllingum	HP-23 21,0 " ÷ 6,0 "	2,15	2,35	2,68	3,05	0,20	0,30	
	30,0 " ÷ 15,0 "	2,16	2,33	2,60	3,09	0,17	0,30	
með leirfyllingum	HP-46 23,0 " ÷ 0,5 "	2,21	2,42	2,80	3,05	0,21	0,28	
" "	23,5 " ÷ 1,0 "	2,18	2,42	2,86	3,02	0,24	0,28	
" "	26,0 " ÷ 3,5 "	2,14	2,39	2,85	3,05	0,25	0,30	
" "	27,9 " ÷ 5,4 "	2,13	2,36	2,75	3,06	0,23	0,30	
Meðaltal		2,22	2,39	2,67	3,07	0,17	0,28	
Uflalaust kubbaberg Hr ₁	Hrauneyjar HP-3 13,0 m ÷ 6,5 m	2,37	2,48	2,68	3,10	0,12	0,24	
	" " ÷ " "	2,42	2,55	2,79	3,10	0,13	0,22	
	HP-22 5,9 " ÷ 4,9 "	2,72	2,77	2,86	3,11	0,06	0,13	
	" " ÷ " "	2,71	2,75	2,81	3,11	0,04	0,13	
	12,5 " ÷ 11,5 "	2,68	2,73	2,82	3,09	0,05	0,12	
	16,0 " ÷ 15,0 "	2,56	2,62	2,74	3,09	0,07	0,17	
	" " ÷ " "	2,59	2,66	2,80	3,09	0,08	0,16	
Meðaltal		2,58	2,65	2,79	3,10	0,08	0,17	
Bursaberg, Hr ₁	Hrauneyjar HP-24 16,4 m ÷ 0,8 m	2,02	2,31	2,83	2,91	0,28	0,31	
	" " ÷ " "	2,05	2,32	2,81	2,93	0,27	0,30	
	" " ÷ " "	2,16	2,43	2,94	3,03	0,26	0,29	
	" " ÷ " "	2,04	2,34	2,91	3,00	0,30	0,32	
Meðaltal		2,07	2,35	2,87	2,90	0,28	0,31	
Jökulberg	Hrauneyjar HP-24 11,9 m + 3,7 m	2,12	2,39	2,91	2,97	0,27	0,29	
	HP-27 14,1 " ÷ 0,1 "	2,25	2,46	2,85	3,05	0,21	0,26	
	" " ÷ " "	2,31	2,52	2,94	3,05	0,21	0,24	
	18,0 " ÷ 4,0 "	1,92	2,27	2,99	3,01	0,36	0,36	
	" " ÷ " "	1,89	2,26	2,99	3,00	0,37	0,37	
	20,4 " ÷ 6,4 "	2,07	2,37	2,93	3,01	0,29	0,31	
	" " ÷ " "	2,04	2,36	2,99	3,02	0,32	0,32	
	HP-28 16,8 " ÷ 1,8 "	1,95	2,29	2,94	2,98	0,34	0,35	
	19,0 " ÷ 4,0 "	2,22	2,46	2,93	3,03	0,24	0,27	
	HP-30 13,6 " + 7,4 "	2,09	2,39	3,00	3,02	0,30	0,31	
	HP-31 9,6 " ÷ 6,6 "	2,02	2,33	2,97	3,02	0,32	0,33	

Tafel 1 frh.
Tafel 1 cont.

1	2	3	4	5	6	7	8	9	
Jökulberg frh.	Hrauneyjar HP-31 13,0 m ÷ 4,0 m 15,5 " ÷ 6,5 " " " ÷ " " 19,5 " ÷ 10,5 " " " ÷ " " 24,0 " + 6,7 " HP-34 9,5 " ÷ 0,5 " 10,8 " ÷ 1,8 " 11,0 " ÷ 2,0 " 12,7 " + 3,3 " HP-42 6,3 " + 2,0 " " " + " " HP-46 5,6 " ÷ 2,1 " 10,0 " ÷ 6,5 " " " ÷ " " 10,3 " ÷ 6,8 " 17,5 " + 5,0 " 21,8 " + 0,7 "	1,96 2,14 2,13 2,14 2,10 2,18 2,06 2,15 2,02 2,03 2,16 2,06 2,14 2,14 2,14 2,20 2,02 2,24	2,31 2,42 2,41 2,42 2,38 2,45 2,36 2,43 2,33 2,35 2,42 2,35 2,41 2,41 2,42 2,47 2,34 2,48	3,00 2,96 2,99 2,97 2,91 2,97 2,95 2,97 2,95 2,98 2,92 2,91 2,94 2,94 2,94 2,99 2,97 2,95 2,95	3,02 3,00 3,02 3,01 2,99 3,03 3,00 2,98 3,00 2,99 2,96 2,97 2,99 2,99 2,98 3,00 3,00 3,01 3,04	0,35 0,28 0,29 0,28 0,28 0,26 0,30 0,28 0,32 0,33 0,26 0,27 0,29 0,27 0,28 0,28 0,26 0,32 0,33 0,24 0,26	0,35 0,29 0,29 0,29 0,30 0,31 0,28 0,28 0,32 0,33 0,27 0,27 0,29 0,28 0,29 0,29 0,27 0,27 0,31 0,31		
Medaltal		2,10	2,39	2,95	3,01	0,29	0,30		
Dflött basalt TH _a eða TH _b	Sigalda E-8 27,0 m ÷ 2,5 m 27,7 " ÷ 3,2 " 79,3 " ÷ 4,8 "	2,18 2,55 2,51	2,44 2,62 2,65	2,94 2,74 2,91	3,04 3,06 3,06	0,26 0,07 0,14	0,28 0,17 0,18	0,17	
Medaltal		2,41	2,57	2,86	3,05	0,16	0,21		
Dflött basalt TH _c	Sigalda E-8 52,1 m ÷ 0,9 m 53,6 " ÷ 2,4 " " " ÷ " " 58,0 " ÷ 6,8 " " " ÷ " " 60,0 " ÷ 8,8 " 67,0 " + 7,5 " " " + " " 69,0 " + 5,5 " " " + " " 70,5 " + 4,0 " 73,5 " + 1,0 "	2,71 2,71 2,71 2,72 2,69 2,66 2,81 2,81 2,76 2,65 2,67 2,30	2,82 2,81 2,81 2,81 2,78 2,73 2,88 2,89 2,85 2,77 2,78 2,50	3,02 3,02 3,01 2,99 2,97 2,87 3,04 3,05 3,06 3,02 3,06 2,88	3,05 3,05 3,05 3,06 3,06 3,03 3,06 3,06 3,06 3,06 3,07 3,05	0,10 0,10 0,10 0,10 0,10 0,07 0,08 0,08 0,08 0,09 0,12 0,20	0,11 0,11 0,11 0,11 0,12 0,12 0,08 0,08 0,10 0,13 0,13 0,14		
Medaltal		2,68	2,79	2,99	3,06	0,10	0,12		
Dflött basalt TH _f	Sigalda E-8 22,0 " ÷ 0,2 " 23,9 " ÷ 2,1 " 26,0 " ÷ 4,2 " 30,0 " ÷ 8,2 " 31,4 " ÷ 9,6 " " " ÷ " " 39,3 " + 8,2 " 43,2 " + 4,3 " " " + " " 47,4 " + 0,1 "	2,56 2,48 2,79 2,84 2,83 2,84 2,81 2,84 2,84 2,70	2,69 2,63 2,86 2,90 2,89 2,90 2,87 2,88 2,89 2,79	2,94 2,91 3,02 3,02 3,02 3,01 3,01 2,96 3,03 2,98	3,03 3,03 3,03 3,04 3,03 3,03 3,03 0,06 0,06 0,10	0,13 0,15 0,08 0,06 0,06 0,06 0,06 0,06 0,06 0,11	0,16 0,18 0,08 0,07 0,07 0,06 0,06 0,07 0,06 0,11		
Medaltal		2,75	2,83	2,98	3,03	0,08	0,09		
Dflött basalt TH _h	Hrauneyjar HP-14 13,3 m ÷ 3,3 m 14,7 " ÷ 4,7 " 19,5 " + 0,2 " Sigalda E-8 2,9 " ÷ 0,1 " 4,5 " ÷ 1,6 " " " ÷ " "	2,85 2,82 2,72 2,63 2,54 2,59	2,91 2,90 2,79 2,76 2,69 2,73	3,05 3,06 2,93 3,02 3,01 3,02	3,08 3,08 3,07 3,08 3,08 3,08	0,07 0,08 0,07 0,13 0,16 0,14	0,07 0,08 0,11 0,15 0,18 0,16		

Tafla 1 frh.
Table 1 cont.

1	2	3	4	5	6	7	8	9
Dflött basalt TH _h frh	Sigalda E-8 8,7 m ÷ 5,8 m " " ÷ " " 11,2 " ÷ 8,3 " 14,6 " + 7,2 "	2,86 2,85 2,86 2,78	2,92 2,91 2,93 2,86	3,06 3,03 3,05 3,01	3,06 3,06 3,08 3,07	0,06 0,06 0,06 0,07	0,07 0,07 0,07 0,09	0,07 0,07 0,07 0,09
Meðaltal		2,75	2,84	3,02	3,07	0,09	0,11	
Dflött basalt TH ₁	Hrauneyjar HP-4 18,3 m ÷ 1,5 m 20,0 " + 3,1 " 21,0 " + 2,1 " 23,1 " + 0,0 " Hrauneyjar HP-15 18,3 " ÷ 2,3 " 18,6 " ÷ 2,6 " " " ÷ " " 21,3 " ÷ 5,3 " 22,5 " ÷ 6,6 " " " ÷ " " 29,1 " + 5,9 " 35,0 " + 0,0 " " " + " " HP-37 34,0 " + " "	2,52 2,77 2,77 2,51 2,85 2,63 2,75 2,84 2,84 2,84 2,86 2,77 2,83 2,84	2,69 2,84 2,85 2,68 2,91 2,76 2,84 2,91 2,91 2,91 2,92 2,85 3,01 2,91	3,04 2,98 3,03 3,05 3,04 3,02 3,03 3,06 3,06 3,06 3,05 3,01 3,03 3,03	3,06 3,06 3,07 3,07 3,06 3,08 3,08 3,09 3,08 3,08 3,06 3,07 3,07 3,06	0,17 0,07 0,09 0,18 0,18 0,13 0,09 0,07 0,07 0,07 0,06 0,08 0,07 0,07	0,18 0,09 0,10 0,18 0,18 0,15 0,11 0,08 0,08 0,08 0,10 0,10 0,07 0,07	0,08
Meðaltal		2,76	2,85	3,04	3,07	0,09	0,10	
Dflött basalt TH _j	Hrauneyjar HP-4 4,0 m ÷ 4,0 m 8,4 " + 8,0 " 11,8 " + 4,6 " HP-15 3,2 " ÷ 0,7 " 5,2 " ÷ 2,7 " 11,0 " + 0,0 " HP-34 2,7 " ÷ 2,7 " 6,0 " + 1,0 6,8 " + 0,2 " HP-35 3,5 " ÷ 1,5 " 6,0 " ÷ 4,0 " 10,5 m + 2,2 m HP-37 12,0 " + 3,6 " 13,0 " + 2,6 " 15,5 " + 0,1 " HP-38 3,0 " ÷ 0,4 " 11,0 " + 8,0 " " " + " " HP-41 3,7 " ÷ 3,2 " 6,4 " + 3,8 " 8,9 " + 1,3 " 10,0 " + 0,2 "	2,54 2,78 2,80 2,65 2,56 2,76 2,62 2,74 2,54 2,48 2,52 2,49 2,79 2,76 2,61 2,42 2,70 2,68 2,69 2,70 2,76 2,43	2,66 2,84 2,85 2,75 2,70 2,83 2,73 2,82 2,67 2,63 2,65 2,64 2,85 2,83 2,72 2,58 2,79 2,78 2,78 2,79 2,83 2,60	2,89 2,94 2,93 2,94 2,97 2,96 2,96 2,97 2,91 2,91 2,91 2,94 2,96 2,96 2,95 2,84 2,97 2,96 2,97 2,99 2,96 2,98	2,97 2,97 2,98 2,99 2,99 2,99 2,98 2,99 2,99 2,97 2,97 2,99 2,98 2,98 2,99 2,97 2,97 2,99 2,97 2,99 2,98 2,98	0,12 0,05 0,04 0,10 0,14 0,07 0,11 0,08 0,13 0,15 0,13 0,15 0,06 0,06 0,12 0,17	0,15 0,06 0,06 0,11 0,14 0,08 0,08 0,08 0,13 0,15 0,15 0,17 0,06 0,06 0,12 0,13	0,06
Meðaltal		2,64	2,74	2,94	2,98	0,11	0,12	

Tafla
2
Table

Eðlisþyngd og poruhluti borkjarna frá Tungnaársvæði; meðaltöl, lægstu og hæstu gildi hvers bergflokks.

Density and porosity of drill-cores from Tungnaá area; mean, lowest and highest values of each rock type.

Bergtegund Rock type	Rúmp, burrs sýnis			Rúmp, blauts a. Saturation d.			Bergeðlisþyngd Grain density						Poruhluti Porosity						Fjöldi sýna Number of samples
	Dry density						γ_{k_1}			γ_{k_2}			P_1			P_2			
	γ_p	γ_b	Min. Med. Max.	Min. Med. Max.	Min. Med. Max.	Min. Med. Max.	Min. Med. Max.	Min. Med. Max.	Min. Med. Max.	Min. Med. Max.	Min. Med. Max.	Min. Med. Max.	Min. Med. Max.	Min. Med. Max.	Min. Med. Max.	Min. Med. Max.	Min. Med. Max.		
Dílalaust bólstrab. Hr ₁	2.04	2.22	2.45	2.24	2.39	2.51	2.41	2.67	2.86	3.02	3.07	3.10	0.07	0.17	0.26	0.21	0.28	0.34	17
" kubbaberg "	2.37	2.58	2.72	2.48	2.65	2.77	2.68	2.79	2.86	3.09	3.10	3.11	0.05	0.08	0.13	0.12	0.17	0.24	7
bursaberg Hr ₁	2.02	2.07	2.16	2.31	2.35	2.43	2.81	2.87	2.94	2.91	2.98	3.03	0.26	0.28	0.30	0.29	0.31	0.32	4
Jökulberg	1.89	2.10	2.31	2.26	2.39	2.52	2.85	2.95	3.00	2.95	3.01	3.05	0.21	0.29	0.37	0.24	0.30	0.37	29
Díldótt basalt THa eða THb	2.18	2.41	2.55	2.44	2.57	2.65	2.74	2.86	2.94	3.04	3.05	3.06	0.07	0.16	0.26	0.17	0.21	0.28	3
" " THc	2.30	2.68	2.81	2.50	2.79	2.89	2.87	2.99	3.05	3.03	3.06	3.07	0.07	0.10	0.20	0.08	0.12	0.25	12
" " THf	2.48	2.75	2.84	2.63	2.83	2.90	2.91	2.98	3.02	3.03	3.03	3.04	0.04	0.08	0.15	0.06	0.09	0.18	10
" " THh	2.54	2.75	2.86	2.69	2.84	2.93	2.93	3.02	3.06	3.06	3.07	3.08	0.06	0.09	0.16	0.07	0.11	0.18	10
" " THi	2.51	2.76	2.86	2.68	2.85	2.92	2.98	3.04	3.06	3.06	3.07	3.09	0.06	0.09	0.18	0.07	0.10	0.18	14
" " THj	2.42	2.64	2.80	2.58	2.74	2.85	2.84	2.94	2.98	2.97	2.98	3.00	0.04	0.11	0.18	0.06	0.12	0.18	22

Tafla 3
Table

Eðlisþyngd og poruhluti sýnishorma frá öðrum stöðum en Tungnaárvæði.

Density and porosity of samples from other areas than Tungnaá area.

+ táknað, að næstu lagamót séu fyrir neðan, en ÷ að þau séu fyrir ofan sýnishornið.

+ says, that the next contact is below, but ÷, that the next contact is above the sample.

Bergtegund Rock type	Staður, dýpi og fjarlægð frá næstu lagamótum. Location, depth and distance from the next contact.	Rúmp. þurrs sýnis γ_b Dry density	Rúmp. blauts sýnis γ_b Saturation density	Bergréðlisþyngd Grain density		Poruhluti Porosity	
				γ_{k_1}	γ_{k_2}	P_1	P_2
1	2	3	4	5	6	7	8
bursaberg	Seltjarnarmes H-1 52.3m + 0.5m - - + --- - - + ---	2.03 2.04 1.94	2.36 2.35 2.27	2.97 2.97 2.96	3.04 3.04 3.04	0.31 0.31 0.35	0.33 0.33 0.36
Blöðrulítið basalt	77.0- ÷ 1.0- - - ÷ --- - - ÷ ---	2.95 2.94 2.91	2.98 2.97 2.95	3.03 3.03 3.01	3.10 3.10 3.10	0.03 0.03 0.03	0.05 0.05 0.06
bursaberg	93.2- ÷ 2.1- - - ÷ --- - - ÷ ---	2.04 2.06 2.05	2.35 2.37 2.36	2.97 2.98 2.97	3.03 3.03 3.03	0.32 0.31 0.31	0.33 0.32 0.32
Stórblöðrøtt basalt	H-2 80.2- ÷ 1.7- - - ÷ ---	2.49 2.50	2.66 2.65	2.99 2.95	3.09 3.09	0.17 0.15	0.19 0.19
Grágrýti	Skygganir v.Elliðav. 28.6- + 2.8- - - + --- - - + --- - - + ---	2.74 2.71 2.74 2.70	2.84 2.83 2.85 2.82	3.07 3.06 3.07 3.06	3.08 3.08 3.08 3.08	0.11 0.12 0.11 0.12	0.11 0.12 0.11 0.12
Grágrýti	209.2- + 2.0- - - + --- - - + ---	2.74 2.76 2.75	2.83 2.84 2.83	3.00 3.00 3.00	3.04 3.04 3.04	0.09 0.08 0.08	0.10 0.09 0.10
Fíngert bursaberg	Reykjavík Artún 300.0- + 6.8- - - ÷ --- - - ÷ ---	1.92 1.82 1.99	2.29 2.25 2.33	3.03 3.04 3.02	3.05 3.05 3.05	0.37 0.39 0.34	0.37 0.39 0.35
Dólerit	Reykjavík H-32 849.9- ÷ 71.0- - - ÷ --- - - ÷ ---	3.04 3.09 3.08	3.07 3.10 3.10	3.13 3.14 3.13	3.19 3.19 3.19	0.03 0.02 0.02	0.05 0.03 0.03
Meðalblöðrøtt basalt	Gufunes 173.0- ÷ 3.0- - - ÷ ---	2.58 2.57	2.71 2.70	2.95 2.97	3.10 3.10	0.12 0.14	0.17 0.17
Grænleitt, fíngert set	Stardalur H-1 42.0- + 3.7- - - + --- - - + --- - - + ---	1.89 1.87 1.87	2.21 2.22 2.20	2.78 2.87 2.81	2.88 2.88 2.88	0.32 0.35 0.33	0.34 0.35 0.35
Blöðrulaust basalt	61.0- ÷ 15.3- - - ÷ ---	2.58 2.60	2.66 2.67	2.79 2.79	2.97 2.97	0.07 0.07	0.13 0.13
Rauðleitt konglomerat	Akranes H-2 30.2- ÷ 0.2- - - ÷ --- - - ÷ ---	2.24 2.24 2.28	2.47 2.48 2.51	2.92 2.94 2.96	2.96 2.96 2.96	0.23 0.24 0.23	0.24 0.24 0.23
Basalt	49.1- + 0.7- - - + --- - - + ---	2.62 2.50 2.50	2.74 2.63 2.64	2.97 2.88 2.91	2.98 2.97 2.97	0.12 0.13 0.14	0.12 0.13 0.16
Blöðrøtt basalt	82.7- ÷ 1.6- - - ÷ ---	2.40 2.42	2.61 2.61	3.04 2.98	3.03 3.03	0.21 0.19	0.21 0.20
Stórblöðrøtt basalt með nokkrum holufyllingum	97.7- - -	2.04 2.05	2.33 2.33	2.87 2.87	2.92 2.92	0.29 0.29	0.30 0.30
Leirsteinn	Hössavík H-1 954.0- ÷ 9.0- - - ÷ --- - - ÷ ---	2.41 2.37 2.39	2.56 2.54 2.54	2.83 2.86 2.80	2.89 2.96 2.87	0.15 0.17 0.15	0.17 0.20 0.17

Tafla 3 frh.
Table 3 cont.

1	2	3	4	5	6	7	8
Leirasteinn	Húsevík H-1 1.052,4m +17,0m	2.37	2.54	2.87	2.90	0.18	0.18
	-- + --	2.48	2.62	2.90	2.94	0.14	0.16
	-- + --	2.54	2.67	2.92	2.98	0.13	0.15
Ummynndað bólstreberg	Námafjall H-8 >540 m Úrkast	2.50	2.61	2.82	2.93	0.11	0.15
Líparít		2.45	2.59	2.84	2.93	0.14	0.16
		2.34	2.46	2.65	2.69	0.12	0.13
		2.36	2.47	2.64	2.69	0.10	0.12
Bólstreberg		2.37	2.47	2.63	2.69	0.10	0.12
		2.20	2.40	2.74	3.11	0.20	0.29
Fínt sjávarset	Vestmannaeyjar 240 m	2.21	2.40	2.73	3.11	0.19	0.29
		1.67	2.06	2.75	2.77	0.39	0.40
	--	1.66	2.06	2.76	2.78	0.40	0.40
	--	1.63	2.03	2.72	2.76	0.40	0.41
Fremur grófkristallað storkuberg berg með fylltum sprungum	640 -	2.41	2.56	2.83	2.91	0.15	0.17
	--	2.43	2.58	2.85	2.90	0.15	0.16
Tóff-breksía	782 -	2.50	2.63	2.87	2.94	0.13	0.15
	--	2.41	2.54	2.78	2.90	0.13	0.17
	--	2.41	2.56	2.83	2.92	0.15	0.17
	--	2.41	2.55	2.80	2.92	0.14	0.17
	--	2.40	2.54	2.81	2.92	0.15	0.18
Titanágít basalt	1.010 -	2.85	2.87	2.91	3.05	0.02	0.07
" " + molaberg	--	2.71	2.75	2.83	3.00	0.04	0.10
" "	--	2.86	2.88	2.90	3.05	0.01	0.06
Basalt með fylltum sprungum	1.517 -	2.99	3.02	3.05	3.09	0.02	0.03
	--	2.92	2.96	3.05	3.09	0.04	0.06
	--	2.84	2.91	3.04	3.07	0.07	0.07
Basalt með fáeinum, en dálitið holufylltum blöðrum	Kaldárholt í Holtum 46 -	2.95	2.97	3.01	3.09	0.02	0.05
	--	2.89	2.93	3.03	3.09	0.05	0.07
Ummynndað basalt ?	58 -	2.93	2.96	3.02	3.09	0.03	0.05
" " + stórr holuf.	--	2.56	2.70	2.98	3.06	0.14	0.16
Blöðrætt basalt, nokkuð holuf.	Blölvaholt í Flóa 39.4-	2.56	2.69	2.96	3.02	0.13	0.15
	--	2.42	2.57	2.87	3.04	0.16	0.20
	--	2.70	2.79	2.96	3.05	0.09	0.11
Rauðleitt, blöðrulaust basalt	58.4-	2.64	2.71	2.85	3.04	0.08	0.13
	--	2.77	2.86	3.04	3.05	0.09	0.09
	--	2.78	2.86	3.04	3.05	0.09	0.09
Blöðrulaust basalt	58.4-	2.76	2.85	3.04	3.05	0.09	0.10
	--	2.92	2.96	3.05	3.09	0.04	0.06
	--	2.93	2.97	3.06	3.09	0.04	0.05
	--	2.94	2.98	3.06	3.09	0.04	0.05
Völuberg	73.3-	2.90	2.94	3.04	3.09	0.05	0.06
	--	1.91	2.24	2.86	2.93	0.33	0.36
	--	1.97	2.28	2.85	2.91	0.31	0.32
Grænleitt tóff með hvítum dilum	Sauðadalur í Ölfusi A á mynd nr. 2.10	2.07	2.36	2.90	2.99	0.29	0.31
	--	2.45	2.57	2.78	2.80	0.12	0.13
Ljósgrænt tóff	B - - - -	2.39	2.53	2.78	2.80	0.14	0.15
	--	1.96	2.27	2.83	2.84	0.31	0.31
Bránt tóff	C - - - -	1.97	2.28	2.83	2.84	0.30	0.31
	--	2.06	2.32	2.78	2.80	0.26	0.26

Tafla 3 frh.
Table 3 cont.

1	2	3	4	5	6	7	8
Brúnt tóff frh.	Sauðadalur í Ölfusi C á mynd nr. 2.10 - - - - -	1.97 2.06	2.26 2.32	2.80 2.78	2.80 2.80	0.30 0.26	0.30 0.26
Grænleitt þursaberg	Sauðadalur í Ölfusi D - - - -	2.45	2.55	2.73	2.79	0.11	0.12
	Tekið í stímu opnu og C, en 2 m neðar	2.42 2.44	2.52 2.51	2.70 2.70	2.71 2.71	0.10 0.11	0.11
Grænbrúnt molaberg	Tekið í um 10 m láréttir fjarlagð frá D	2.19	2.42	2.87	2.86	0.24	0.23
Ljósgrænt tóff	E á mynd nr. 2.10 F - - - -	2.16 2.39 2.38 2.38 2.26	2.41 2.52 2.51 2.51	2.86 2.74 2.74 2.74	2.86 2.77 2.77 2.77	0.24 0.13 0.13 0.13	0.25 0.14 0.14
Dökkgrenleitt tóff með kalkspatdílum	Við Grænadalá í Ölf. 1 á mynd nr. 2.10	2.07 2.08	2.34	2.83	2.85	0.27	0.27
Grænt tóff	2 - - - -	1.88 1.78	2.20 2.15	2.80	2.84	0.33	0.34
Fingert basalt ór gangi	3 - - - -	2.42 2.40 2.38	2.56 2.55 2.53	2.82	2.85	0.14	0.15
Grænleitt tóff með brúnum og gráum eitlum	4 - - - -	1.90 1.93 1.95	2.22 2.24 2.26	2.81	2.82	0.33	0.33
Sírt straumlöggátt gangberg með miklu af pyriti	5 - - - -	2.54 2.40 2.36	2.59 2.53 2.48	2.67 2.75 2.69	2.70 2.82 2.74	0.05 0.13 0.12	0.06 0.16 0.17
Grænleitt, myndbreytt berg	6 - - - -	2.55 2.61 2.47	2.62 2.65 2.56	2.73	2.76	0.07	0.08
Ljósgrænt tóff	7 - - - -	1.96 1.92 1.91 2.00	2.26 2.23 2.20 2.27	2.80	2.84	0.30	0.31
Grænrauðleitt basalt með miklu af pyriti ór gangi	8 - - - -	2.49 2.53 2.53 2.49	2.58 2.61 2.60 2.59	2.75	2.78	0.09	0.10
Fingert basalt ór gangi	9 - - - -	2.85 2.92 2.93 2.92	2.87 2.45 2.96 2.99	2.91	2.94	0.02	0.03
Ljósgrænleitt tóff, kontaktberg við gangberg nr. 9	10 - - - -	2.26 2.19 2.26	2.45 2.40 2.45	2.77	2.82	0.18	0.20
Mjög fingert, ólivíndflótt basalt	Reykjadalur í Ölf. 26 - - - -	2.85 2.92	2.90 2.94	2.98	3.02	0.04	0.06
Grænt tóff með miklu af pyriti	27 - - - -	2.05 2.03	2.36 2.34	2.98	3.02	0.02	0.03
Ljósat molaberg	28 - - - -	2.32 2.35 2.36	2.44 2.46 2.47	2.62	2.72	0.12	0.15
Brúngrenleitt tóff	29 - - - -	2.30 2.36	2.48 2.47	2.83	2.91	0.19	0.21
Ljósgrátt, ummyndað berg	30 - - - -	2.27 2.22 2.29	2.41 2.38 2.43	2.64	2.85	0.14	0.20
Grágrent, ummyndað bólstraberg	31 - - - -	2.24 2.23	2.41 2.42	2.71	2.78	0.17	0.19
				2.73	2.78	0.18	0.20

Tafla 3 frh.

Table 3 cont.

1	2	3	4	5	6	7	8
Grágr. umm. bólstraberg	Reykjadalur í Ölfusi 31 á mynd nr. 2.10	2.17	2.38	2.75	2.79	0.21	0.22
Dökkbrúnt bólstraberg	32 - - -	2.33	2.49	2.76	2.87	0.16	0.19
		2.35	2.50	2.76	2.87	0.15	0.18
		2.33	2.49	2.80	2.87	0.17	0.19
Ljósgrænt, ummyndað bólstraberg	33 - - -	1.87	2.18	2.69	2.84	0.30	0.34
		1.93	2.22	2.72	2.84	0.29	0.32
		1.88	2.17	2.67	2.84	0.30	0.34
Brúnleitt þursaberg	34 - - -	1.81	2.15	2.74	2.82	0.34	0.36
		1.68	2.06	2.71	2.81	0.38	0.40
		1.73	2.10	2.72	2.81	0.36	0.38
Ljósbrúngrenleitt tóff	35 - - -	1.65	2.01	2.60	2.78	0.37	0.41
		1.58	1.97	2.59	2.78	0.39	0.43
		1.56	1.96	2.60	2.78	0.40	0.44
Blöðrulaust basalt	36 - - -	2.84	2.88	2.97	2.98	0.04	0.05
		2.86	2.90	2.98	2.98	0.04	0.04
Dökkbrúnleitt tóff	37 - - -	1.78	2.12	2.69	2.74	0.34	0.35
		1.75	2.10	2.68	2.74	0.35	0.36
Mjög fínkrist., blöðrótt basalt	Nesjavellir H-4 88-426 m úrkast	2.06	2.38	3.02	3.06	0.32	0.33
		2.05	2.37	3.02	3.06	0.32	0.33
Mjög fínkristallað basalt		2.45	2.62	2.94	3.04	0.17	0.19
		2.36	2.56	2.94	3.04	0.20	0.22
		2.35	2.55	2.94	3.04	0.20	0.23
Fínkristallað basalt		2.46	2.62	2.94	3.09	0.17	0.20
		2.37	2.58	2.98	3.09	0.20	0.23
		2.51	2.65	2.90	3.09	0.13	0.19
Mjög fínkristallað, blöðrótt basaltgjall		2.00	2.33	2.97	3.02	0.33	0.34
		1.97	2.31	2.97	3.02	0.34	0.35
		1.86	2.22	2.94	3.02	0.37	0.38
		1.88	2.24	2.94	3.02	0.36	0.38
Ummundað basalt	Krifauvskursvæði H-5 428 m + 44 m	2.57	2.69	2.92	2.94	0.12	0.13
	- + -	2.58	2.69	2.90	2.94	0.11	0.12
Ummundað basalt	670 m + 20 m	2.21	2.40	2.72	2.80	0.18	0.21
	- + -	2.23	2.41	2.71	2.80	0.18	0.20
Ummundað basalt	H-6 442 m ÷ 20 m	2.47	2.61	2.88	2.89	0.14	0.15
	- + -	2.40	2.56	2.87	2.89	0.17	0.17
	- + -	2.40	2.57	2.88	2.89	0.17	0.17
Ummundað basalt	413 m ÷ 21 m	2.63	2.73	2.94	2.96	0.11	0.11
	- + -	2.61	2.72	2.92	2.96	0.11	0.12
	- + -	2.63	2.73	2.93	2.96	0.10	0.11
Ummundað basalt	625 m	2.56	2.67	2.86	2.86	0.10	0.10
	-	2.54	2.65	2.85	2.85	0.11	0.11
	-	2.54	2.64	2.83	2.85	0.11	0.11
	-	2.53	2.64	2.84	2.85	0.11	0.11
Ummundað basalt	821 m	2.82	2.88	3.01	3.03	0.06	0.07
	-	2.82	2.89	3.02	3.03	0.07	0.07
	-	2.82	2.89	3.01	3.03	0.06	0.07
Blöðrulaust basalt með stórum plagifóklas og ólivíndfílum	H-7 150 - 160 m	2.78	2.82	2.90	2.95	0.04	0.05
Oflalaust basalt	186 - 187 m	2.92	2.94	2.99	3.00	0.02	0.03
	- - -	2.56	2.71	3.01	3.01	0.15	0.15

Tafla 3 frh.
Table 3 cont.

1	2	3	4	5	6	7	8
Rauðt þursaberg	Sveifluháls P-187 á mynd nr. 2.10	1.51 1.48 1.51	1.98 1.96 1.99	2.84 2.86 2.89	2.90 2.90 2.90	0.47 0.48 0.48	0.48 0.49 0.49
Brúnleitt tóff	Sog á Reykjanesskaga 11 - - -	1.87 1.84 1.84	2.18 2.16 2.16	2.73 2.74 2.74	2.74 2.74 2.74	0.31 0.33 0.33	0.32 0.33 0.33
Ljósbrúnt tóff, kontaktberg við nr. 11	12 - - -	1.58 1.49 1.47	2.01 1.93 1.93	2.76 2.68 2.70	2.73 2.68 2.70	0.43 0.44 0.46	0.42 0.44 0.46
Fingert, grænleitt þursaberg	13 - - -	1.51 1.59 1.38	1.97 2.01 1.88	2.76 2.74 2.77	2.73 2.78 2.77	0.45 0.46 0.42	0.44 0.46 0.43
Grænleitt, lagkskipt tóff		1.39	1.89	2.77	2.77	0.50	0.50
Ljósbrúnt tóff	14 - - -	1.57 1.57 1.55	2.01 2.01 2.00	2.81 2.80 2.81	2.79 2.79 2.79	0.44 0.44 0.45	0.44 0.44 0.44
Fingert, blöðrulitið basalt með holufyllingum, gangberg	15 - - -	2.68 2.50 2.69	2.75 2.64 2.78	2.90 2.93 2.95	2.98 2.98 2.98	0.10 0.15 0.10	0.10 0.16 0.10
Bránt tóff með kalkspatdfilm	16 - - -	2.11 2.18 2.14	2.37 2.41 2.38	2.84 2.83 2.84	2.85 2.85 2.85	0.26 0.26 0.25	0.26 0.26 0.25
Fingert, blöðrulaust basalt úr gangi	17 - - -	2.42 2.47	2.59 2.62	2.92 2.91	2.97 2.97	0.17 0.16	0.18 0.17
Gulleitt tóff	18 - - -	1.67 1.68 1.66	2.04 2.04 2.03	2.64 2.64 2.64	2.64 2.64 2.64	0.37 0.37 0.37	0.37 0.36 0.37
Brúnleitt tóff	19 - - -	1.52 1.52 1.51	1.97 1.97 1.97	2.75 2.78 2.78	2.77 2.77 2.77	0.45 0.46 0.46	0.45 0.45 0.45
Rauðt, fingert þursaberg	20 - - -	1.49 1.46 1.47	1.97 1.95 1.96	2.90 2.90 2.90	2.89 2.89 2.89	0.49 0.50 0.49	0.48 0.50 0.49
Ummynndað basaltgjall	21 - - -	1.26 1.24 1.21	1.83 1.81 1.79	2.91 2.90 2.92	2.89 2.89 2.89	0.57 0.57 0.59	0.56 0.57 0.58
Rauðleitt tóff	22 - - -	1.41 1.34 1.33	1.93 1.88 1.87	2.91 2.89 2.89	2.89 2.89 2.89	0.51 0.53 0.54	0.51 0.54 0.54
Brúnleitt þursaberg	23 - - -	1.43 1.46 1.47	1.92 1.94 1.94	2.82 2.82 2.83	2.84 2.84 2.84	0.49 0.49 0.48	0.50 0.49 0.49
Fingert, dökkrúngrenleitt þursaberg	24 - - -	1.47 1.48 1.47	1.96 1.96 1.94	2.89 2.88 2.83	2.86 2.86 2.84	0.49 0.49 0.48	0.49 0.49 0.48
Brúnleitt tóff	25 - - -	1.46 1.40 1.38	1.95 1.91 1.89	2.87 2.82 2.85	2.85 2.78 2.84	0.49 0.50 0.51	0.49 0.50 0.51
		1.44	1.93	2.84	2.79	0.49	0.48

Tafla 3 frh.
Table 3 cont.

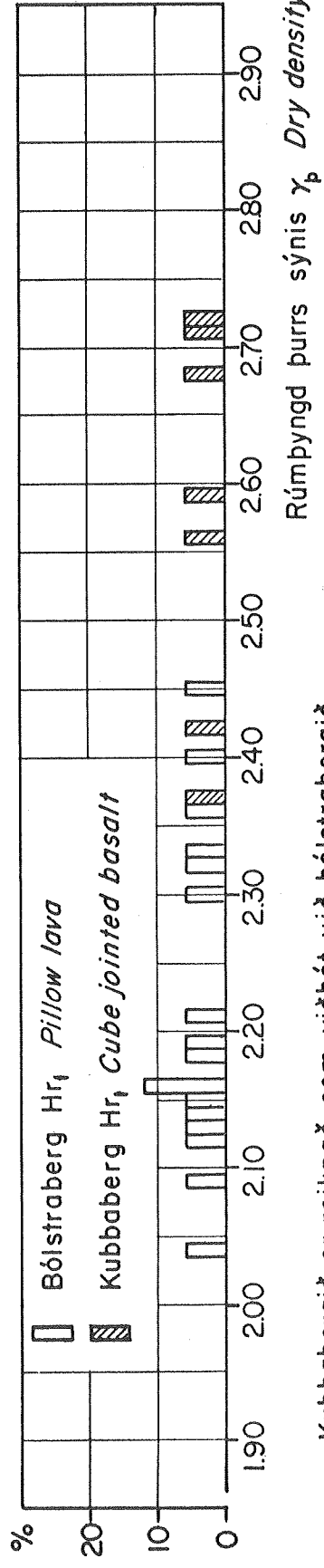
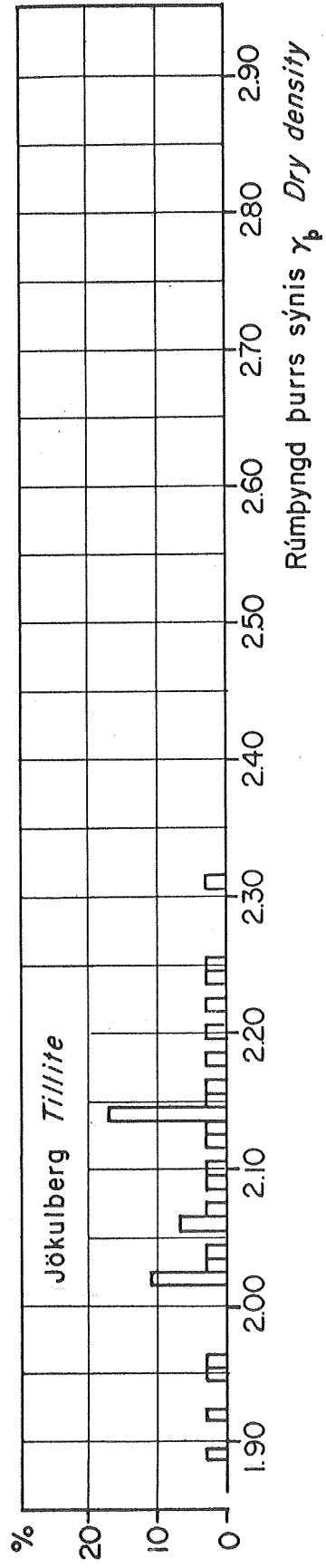
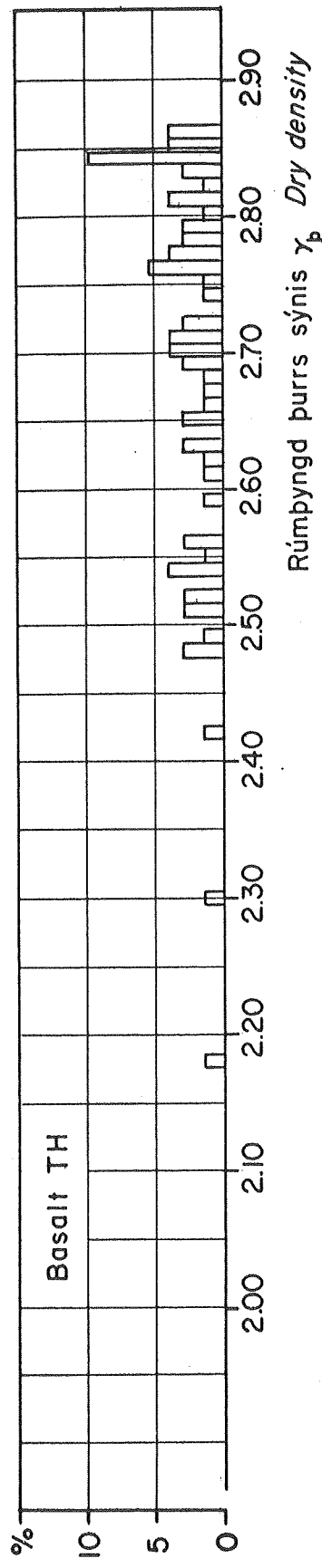
1	2	3	4	5	6	7	8
Ummyndað þursaberg	Reykjanes H-6 302,0 m ÷ 7 m - - ÷ -- - - ÷ --	1.82 1.88 1.93	2.16 2.20 2.24	2.76 2.78 2.80	2.79 2.81 2.84	0.34 0.32 0.31	0.35 0.33 0.32
Ummyndað þursaberg	570,5 m ÷ 15 m - - ÷ -- - - ÷ --	2.19 2.16 2.25	2.43 2.41 2.47	2.86 2.85 2.89	2.89 2.86 2.92	0.23 0.24 0.22	0.24 0.24 0.23
Ummyndað set	H-8 1.369,0 m ÷ 9 m - - ÷ -- - - ÷ --	2.35 2.34 2.32	2.50 2.49 2.49	2.75 2.76 2.78	2.78 2.78 2.78	0.15 0.15 0.16	0.15 0.16 0.17
Ummyndað set	1.372,6 m ÷ 13 m - - ÷ -- - - ÷ --	2.29 2.27 2.28	2.47 2.46 2.46	2.79 2.80 2.79	2.82 2.85 2.82	0.18 0.19 0.18	0.19 0.20 0.19
Dilelaust, blöðrött grágrýti Mjög fíngert, blöðrulaust basalt	Njarðvíkurheðði 209,5 m 497,0 m	2.54 2.91	2.70 2.92	3.02 2.96	3.11 3.03	0.16 0.02	0.18 0.04



Hlutfallsleg dreifing rúmpþyngdar
Proportional distribution of dry density

10.3. '72	SvP/E.K
Tnr. 260	Tnr. 307
B- ým	J- ým
Fnr. 10452	

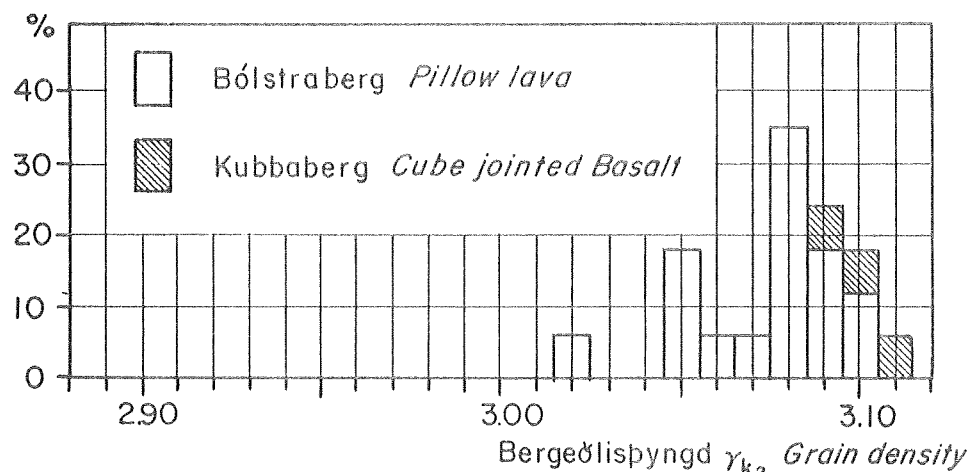
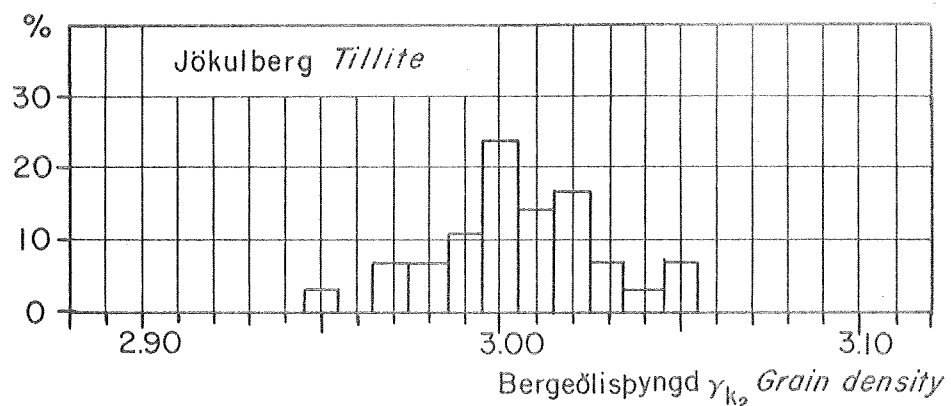
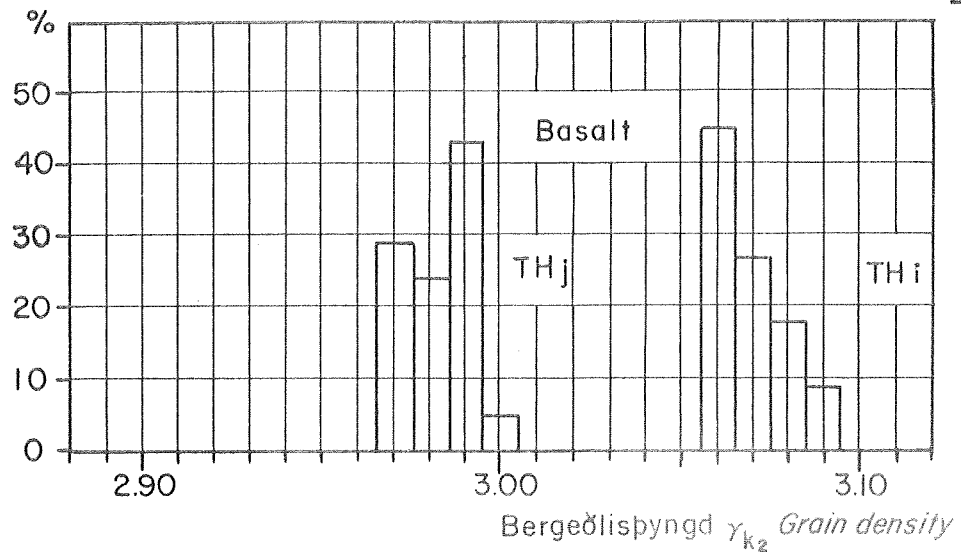
Mynd
Exh. 2.01



Kubbabergið er reiknað sem viðbót við bólstrábergið
The cube jointed basalt inserted as addition to the pillow lava



Mynd
Exh. 2.02



Kubbabergið er reiknað sem viðbót við bólstrabergið

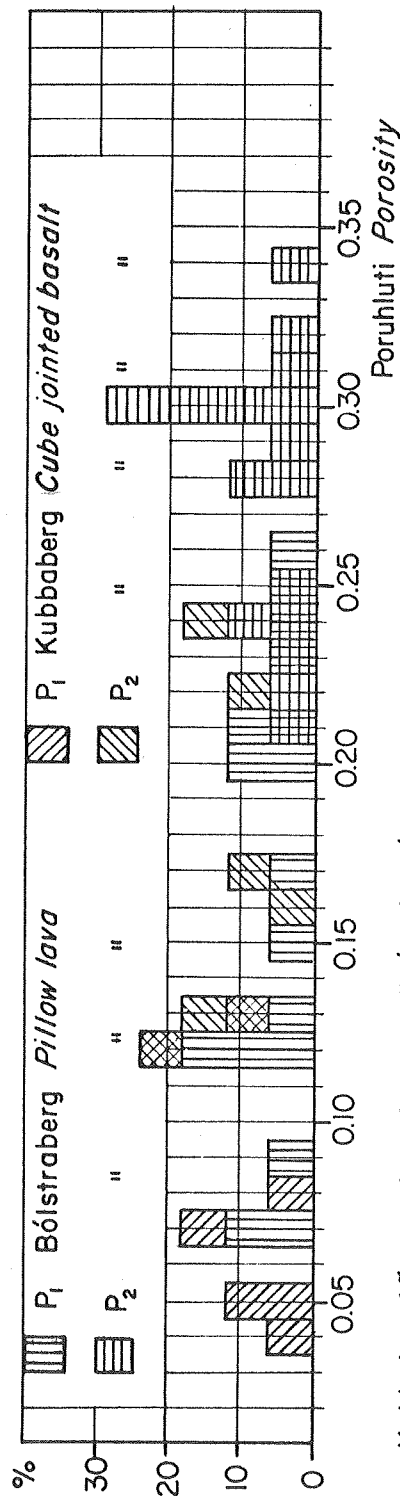
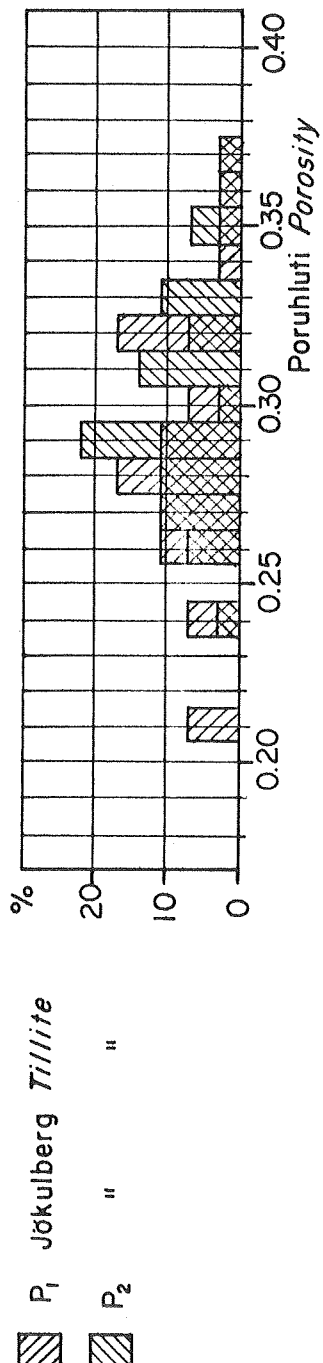
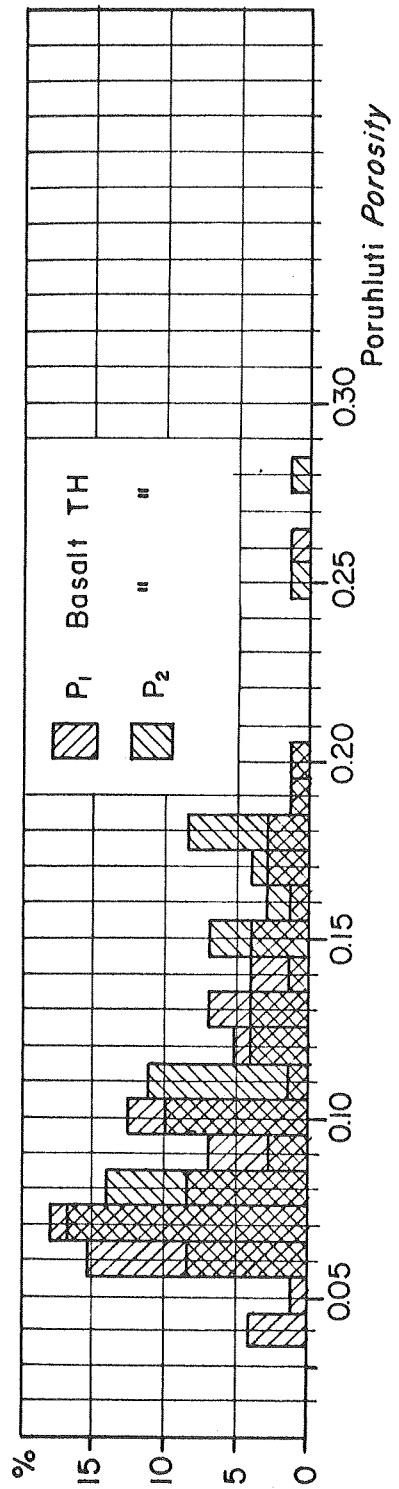
The cube jointed basalt inserted as addition to the pillow lava



Hlutfallsleg dreifing poruhluta
Proportional distribution of porosity

21.3.'72 Sv.P/EK
Tnr. 262 Tnr. 309
B-ým. J-ým.
Fnr. 10454

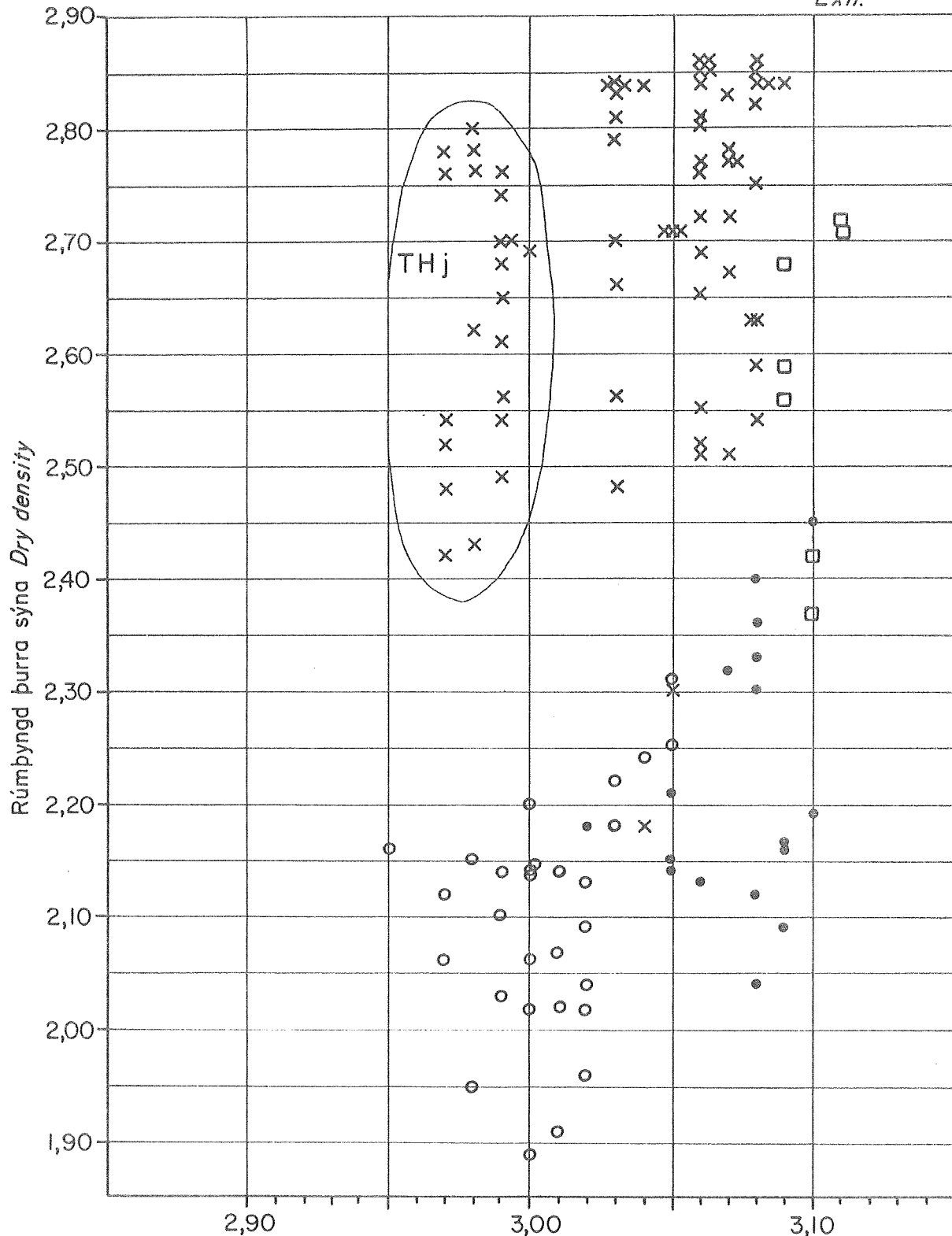
Mynd
Exh. 2.03



Kubbabergið er reiknað sem viðbót við bólstrængið
The cube jointed basalt inserted as addition to the pillow lava



Mynd
Exh. 2,04



Skýringar Legend:

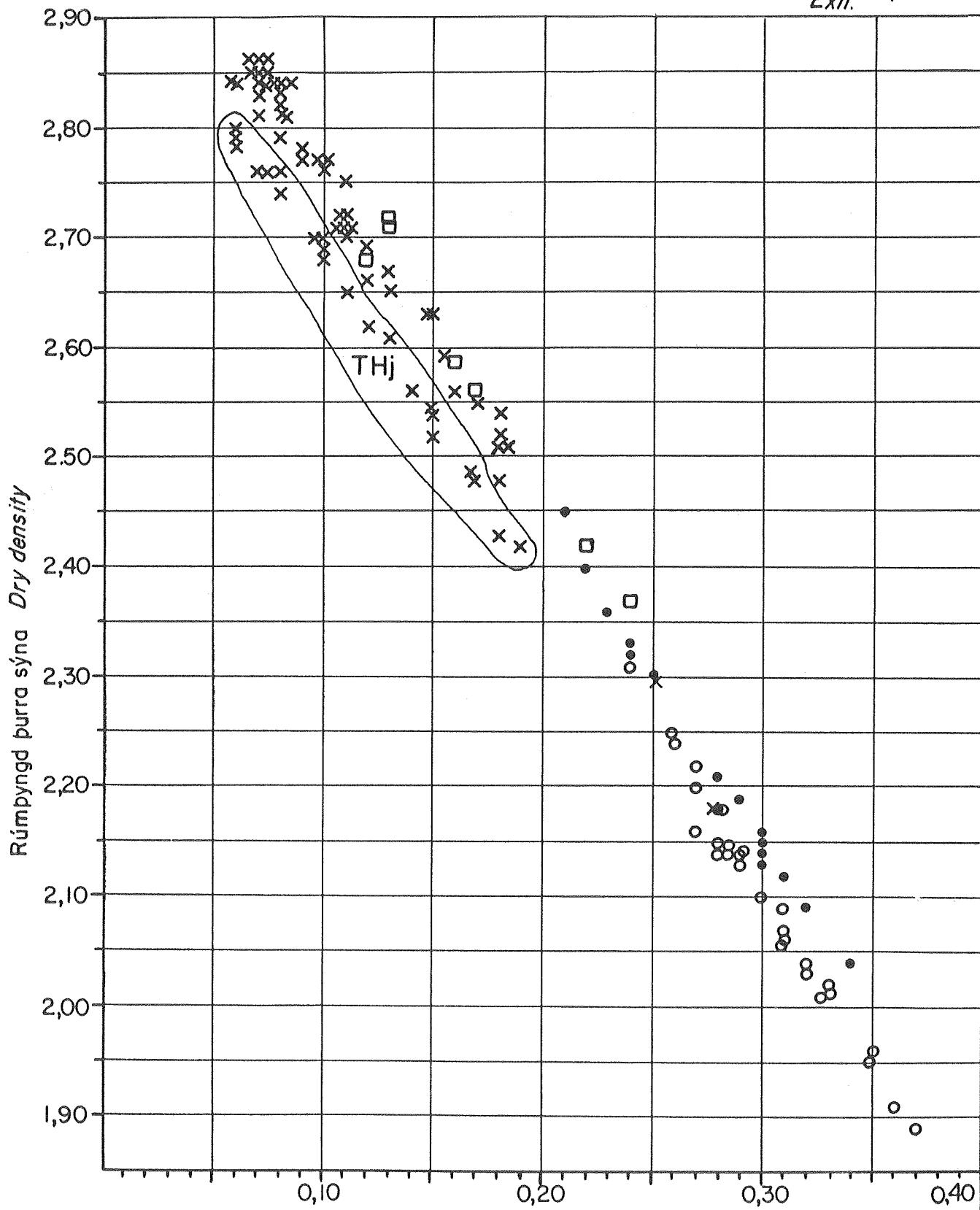
- Bólstraberg *Pillow lava*
- Kubbaberg *Cube jointed basalt*
- Jökulberg *Tillite*
- ✗ Basalt TH *Basalt TH*

Bergeðlisþyngd γ_{k_2}
Grain density



Samband poruhluta og rúmpþyngdar purra sýna frá Tungnaárvæði
Porosity and dry density relationship of rock samp. f. Tungnaá area

Mynd
Exh. 2,05



Skýringar Legend:

- Bólstraberg *Pillow lava*
- Kubbaberg *Cube jointed basalt*
- Jökulberg *Tillite*
- × Basalt TH *Basalt TH*

Poruhluti P_2 Porosity

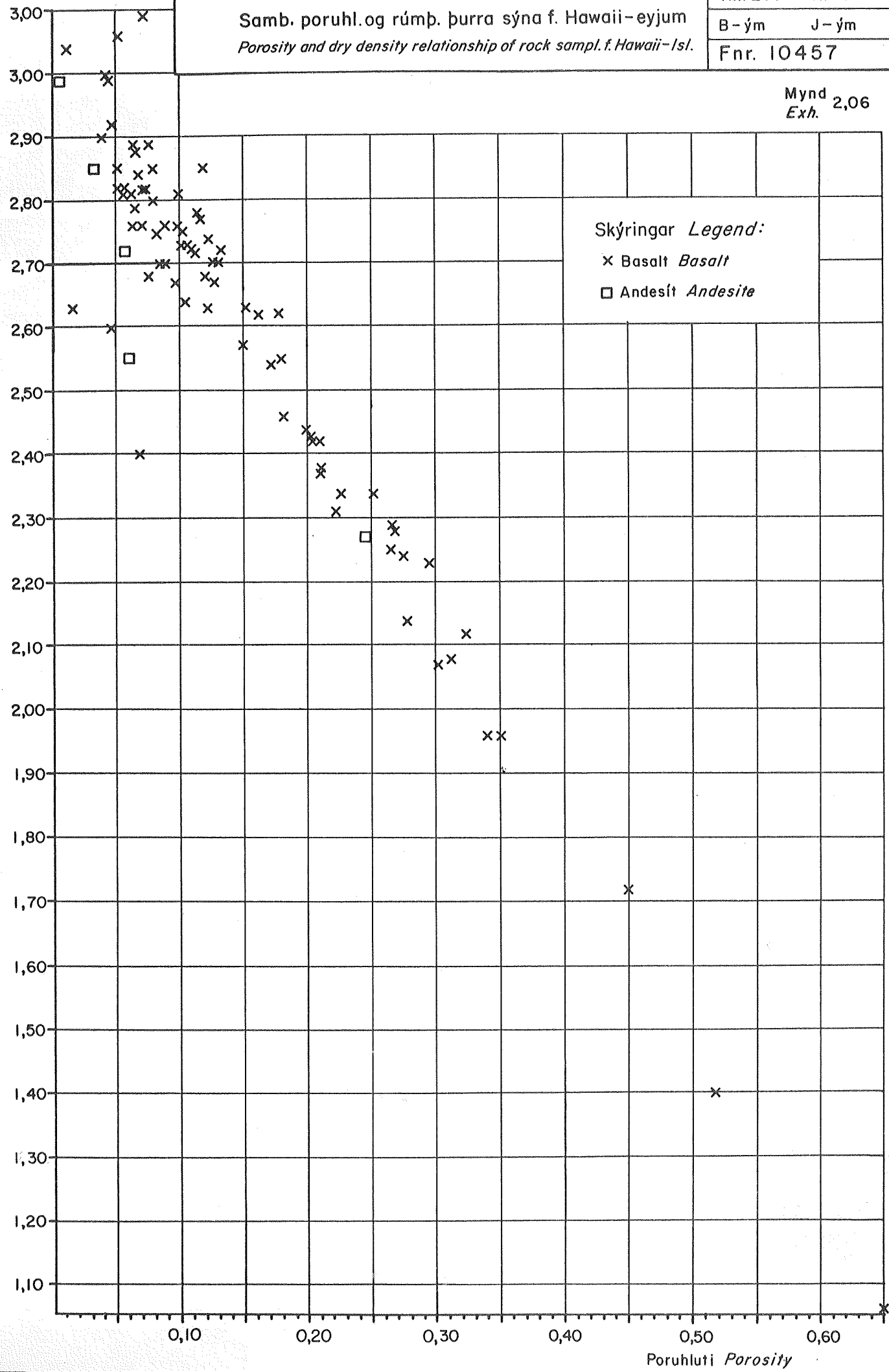
Mynd
Exh. 2,06

Skýringar Legend:

x Basalt Basalt

□ Andesít Andesite

Rúmpyngd þurra sýna Dry density





Mynd
Exh. 2.07

Dýpi
Depth

m

0

0.10

0.20

0.30

0.40

Poruhluti P_2 Porosity

10

20

30

40

50

60

70

80

10

20

30

40

50

60

70

80

10

20

30

40

50

60

70

80

10

20

30

40

50

60

70

80

10

20

30

40

50

60

70

80

10

20

30

40

50

60

70

80

10

20

30

40

50

60

70

80

10

20

30

40

50

60

70

80

10

20

30

40

50

60

70

80

10

20

30

40

50

60

70

80

10

20

30

40

50

60

70

80

10

20

30

40

50

60

70

80

10

20

30

40

50

60

70

80

10

20

30

40

50

60

70

80

10

20

30

40

50

60

70

80

10

20

30

40

50

60

70

80

10

20

30

40

50

60

70

80

10

20

30

40

50

60

70

80

10

20

30

40

50

60

70

80

10

20

30

40

50

60

70

80

10

20

30

40

50

60

70

80

10

20

30

40

50

60

70

80

10

20

30

40

50

60

70

80

10

20

30

40

50

60

70

80

10

20

30

40

50

60

70

80

10

20

30

40

50

60

70

80

10

20

30

40

50

60

70

80

10

20

30

40

50

60

70

80

10

20

30

40

50

60

70

80

10

20

30

40

50

60

70

80

10

20

30

40

50

60

70

80

10

20

30

40

50

60

70

80

10

20

30

40

50

60

70

80

10

20

30

40

50

60

70

80

10

20

30

40

50

60

70

80

10

20

30

40

50

60

70

80

10

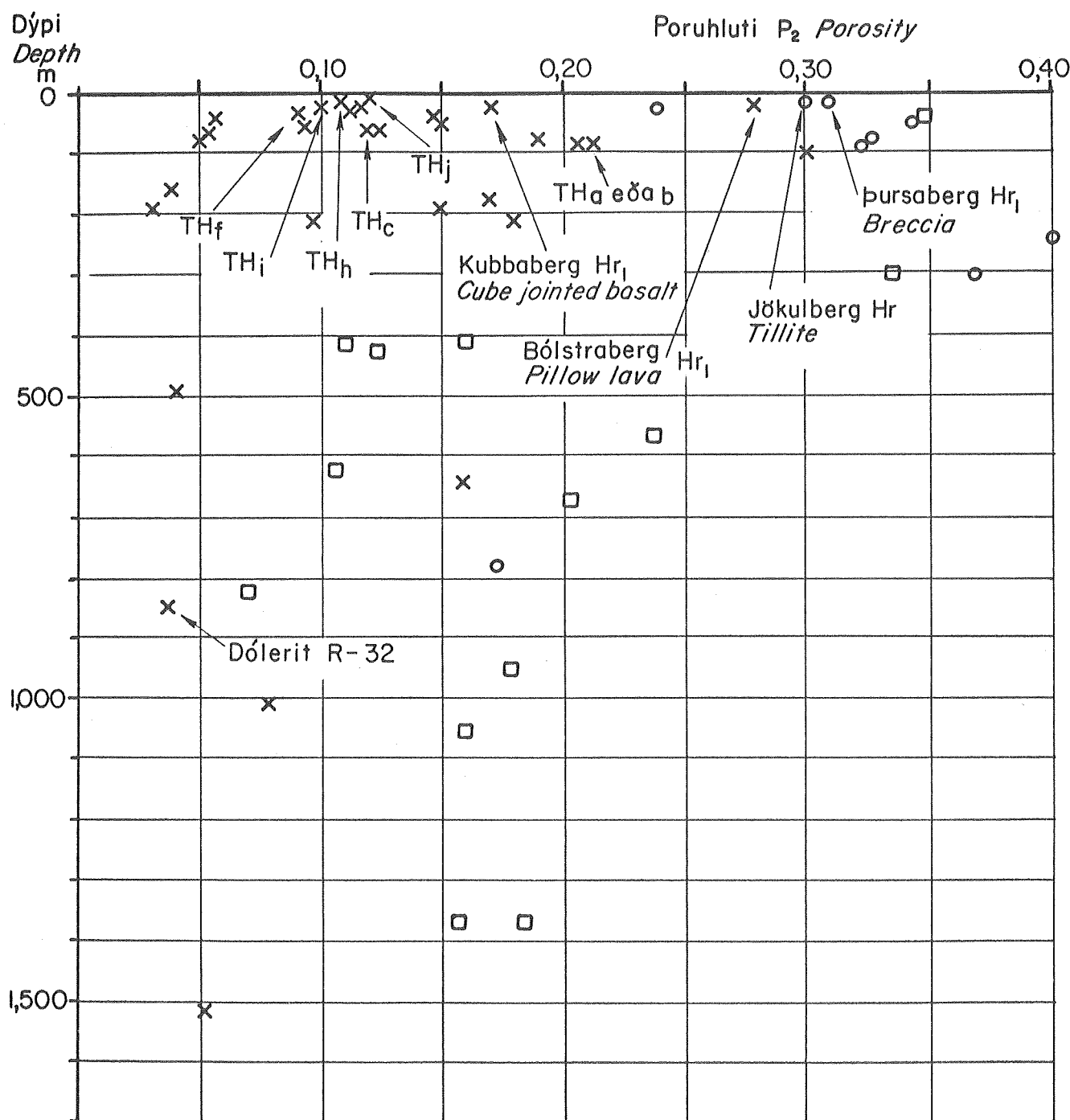
20

30

40



Mynd
Exh. 2,08



Skýringar Legend:

- ✗ Basalt Basalt
- Molaberg Rudaceus rock
- ◻ Ummymndað berg Altered rock

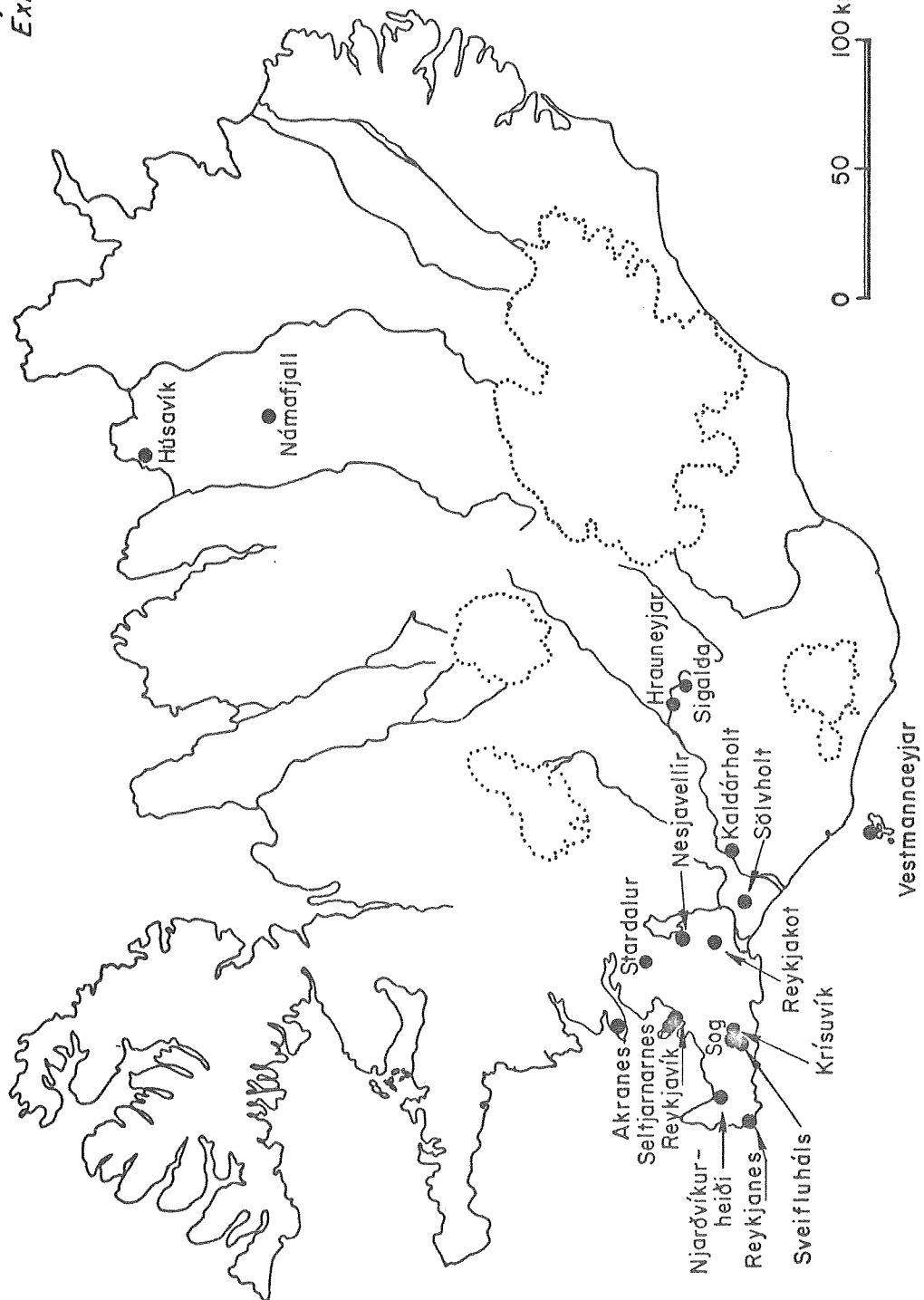


ORKUSTOFNUN
Raforkudeild

Tökustaðir sýnishorna
Location of samples

17.3. '72 Sv.P/EK
Tnr. 268 Tnr. 315
B - ým J - ým
Fnr. 10460

Mynd
Exh.
2.09





ORKUSTOFNUN
Raforkudeild

Tökustaðir sýnishorna,
sem tekin voru á yfirborði jarðhitasvæða.
Locations of surface samples in thermal areas.

29.3.'72 Sv.P/Ek~
Tnr. 269 Tnr. 316
B-ým J- ým
Fnr. 10461

Mynd
Exh. 2.10

